

**T.C.
ERCIYES ÜNİVERSİTESİ
FEN BİLİMLERİ ENSTİTÜSÜ
BİLGİSAYAR MÜHENDİSLİĞİ ANABİLİM DALI**

**YAZILIM TANIMLI AĞLARDA GENETİK ALGORİTMA
TABANLI ÇOKLU DENETLEYİCİ YERLEŐTİRME**

**Hazırlayan
Eda Nur HASÇOKADAR**

**Danışman
Doç. Dr. Bilal BABAYİĐİT**

Yüksek Lisans Tezi

**Haziran 2021
KAYSERİ**

**T.C.
ERCIYES ÜNİVERSİTESİ
FEN BİLİMLERİ ENSTİTÜSÜ
BİLGİSAYAR MÜHENDİSLİĞİ ANABİLİM DALI**

**YAZILIM TANIMLI AĞLARDA GENETİK ALGORİTMA
TABANLI ÇOKLU DENETLEYİCİ YERLEŐTİRME
(Yüksek Lisans Tezi)**

**Hazırlayan
Eda Nur HASÇOKADAR**

**Danışman
Doç. Dr. Bilal BABAYİĞİT**

**Bu çalışma; Erciyes Üniversitesi Bilimsel Araştırma Projeleri Birimi tarafından
FYL-2019-9299 proje koduyla desteklenmiştir.**

**Haziran 2021
KAYSERİ**

BİLİMSEL ETİĞE UYGUNLUK

Bu çalışmadaki tüm bilgilerin, akademik ve etik kurallara uygun bir şekilde elde edildiğini beyan ederim. Aynı zamanda bu kural ve davranışların gerektirdiği gibi, bu çalışmanın özünde olmayan tüm materyal ve sonuçları tam olarak aktardığımı ve referans gösterdiğimi belirtirim.

Eda Nur HASÇOKADAR



“Yazılım Tanımlı Ağlarda Genetik Algoritma Tabanlı Çoklu Denetleyici Yerleştirme adlı yüksek lisans tezi, Erciyes Üniversitesi Lisansüstü Tez Önerisi ve Tez Yazma Yönergesine’ ne uygun olarak hazırlanmıştır.

Hazırlayan

Eda Nur HASÇOKADAR

Danışman

Doç. Dr. Bilal BABAYİĞİT

Bilgisayar Mühendisliği ABD Başkanı

Prof. Dr. Veysel Aslantağ

TEŞEKKÜR

Çalışmalarım boyunca bilimsel araştırma teknikleri ve bilgisi ile bana her konuda yardımcı olan, ilgi ve yardımlarını hiç esirgemeyen değerli danışmanım Doç. Dr. Bilal BABAYİĞİT'e çok teşekkür ederim.

Hayatım boyunca her alanda benden desteklerini esirgemeyen ve eğitimim için daima arkamda duran ailem; Fikriye HASÇOKADAR, Bekir HASÇOKADAR ile APAYDIN ve KARADAYI ailelerine çok teşekkür ederim.

Çalışmalarım süresince sabırla beni destekleyen yol arkadaşım Mustafa SEZEN'e teşekkür ederim.

Yüksek lisans eğitimim süresince bana destek olan ve bilgilerini paylaşmaktan hiç kaçınmayan iş ailem Kayseri çeker Fabrikası Yazılım Departmanı çalışanlarına ve sevgili bilgi teknolojileri müdürüme, üniversiteye iş günlerinde gelip tez çalışmamı sürdürmeye yardımcı olduğu için yönetim ekibimize çok teşekkür ederim.

Eğitimim süresince çalışmalarına yardımcı olmuş tüm bölüm hocalarıma teşekkür ederim.

Eda Nur HASÇOKADAR

Haziran 2021, KAYSERİ

YAZILIM TANIMLI AĞLARDA GENETİK ALGORİTMA TABANLI ÇOKLU DENETLEYİCİ YERLEŞTİRME

Eda Nur HASÇOKADAR

Erciyes Üniversitesi, Fen Bilimleri Enstitüsü
Yüksek Lisans Tezi, Haziran 2021
Danışman: Doç. Dr. Bilal BABAYİĞİT

ÖZET

Geleneksel ağlar, gelişen teknoloji ve gelecek veri boyutunun sürekli artmasıyla ihtiyaçları karşılama zorlanmaktadır. Yazılım Tanımlı Ağ (YTA) yaklaşım, geleneksel ağlara bir alternatif olarak ortaya çıkmıştır. YTA, kontrol ve veri düzlemini birbirinden ayırır, ağı esneklik ve maliyet açısından sağladığı avantajlar ile kontrol düzlemi üzerinden yönetir. Büyük veri akışına sahip ağlarda tek bir denetleyici ile ağı yönetmek kesintilerine ve veri kaybına neden olabileceğinden çoklu denetleyici kullanmak yararlı olacaktır. Çoklu denetleyici kullanılan YTA'larda denetleyicilerin yerleştirilmesi bağlı problemler arasında yer almaktadır.

Bu tez çalışması YTA'larda çoklu denetleyici yerleştirme problemini çözmek üzere gerçekleştirilmiştir. Topology Zoo veri tabanı bünyesindeki Colt ve ULAKNET veri setlerine Genetik Algoritma ile Dijkstra Algoritması birlikte uygulanarak hem Avrupa hem de Türkiye için denetleyicilerin en iyi konumu belirlenmiştir. Ayrıca Türkiye'de kurulması gereken pandemi hastaneleri için YTA modellemesi sunulmuştur. Sunulan modellemeye göre pandemi hastanelerinin kurulacağı şehirler kontrol katmanına karşılık gelirken bu hastanelerden yararlanacak olan diğer tüm şehirler veri katmanına karşılık gelmektedir. Pandemi hastanelerinin kurulum maliyeti dikkate alındığında stratejik noktalarda konumlandırılması, bu hastanelere daha geniş bir kapsama alanı sağlayacaktır. Pandemi hastanelerinden maksimum fayda sağlanabilmesi için koronavirüslü hasta sayısı yoğun fakat diğer tüm şehirlere minimum uzaklıktaki lokasyonlara hastane kurulması önerilmektedir.

Anahtar Kelimeler: Yazılım Tanımlı Ağ, Çoklu Denetleyici Problemi, Genetik Algoritma, COVID-19, Pandemi Hastanesi

GENETIC ALGORITHM-BASED MULTI-CONTROLLER PLACEMENT IN SOFTWARE-DEFINED NETWORKS

Eda Nur HASÇOKADAR

Erciyes University, Graduate School of Natural and Applied Sciences

M.Sc. Thesis, June 2021

Supervisor: Assoc. Prof. Dr. Bilal BABAYİĞİT

ABSTRACT

Traditional networks have difficulty in meeting the needs with the developing technology and the continuous increase in the size of the data to be processed. The Software Defined Network (SDN) approach has emerged as an alternative to traditional networks. SDN separates the control and data plane from each other and manages the network over the control plane with the advantages it provides in terms of flexibility and cost. In networks with large data flows, it is useful to use multiple controllers, as managing the network with a single controller can cause interruptions and data loss. Placement of controllers in SDNs using multiple controllers is among the main problems.

This thesis study has been carried out to solve the problem of multiple controller placement in SDNs. By applying the Genetic Algorithm and Dijkstra Algorithm to Colt and ULAKNET data sets within the Topology Zoo database, the best position of the controllers has been determined for both Europe and Turkey. In addition, SDN modeling has been presented for pandemic hospitals that need to be established in Turkey. According to the presented modeling, the cities where pandemic hospitals will be established correspond to the control layer, while all other cities that will benefit from these hospitals correspond to the data layer. Positioning pandemic hospitals at strategic points, considering the cost of establishment, will provide these hospitals with a wider coverage area. In order to obtain maximum benefit from pandemic hospitals, it is recommended to establish hospitals in locations with a high number of patients with coronavirus, but at a minimum distance from all other cities.

Keywords: Software-Defined Network, Multi-Controller Placement, Genetic Algorithm, COVID-19, Pandemic Hospital

İÇİNDEKİLER

YAZILIM TANIMLI AĞLARDA GENETİK ALGORİTMA TABANLI ÇOKLU DENETLEYİCİ YERLEŞTİRME

BÖLÜMSEL ETİK UYGUNLUK	ii
YÖNERGEYE UYGUNLUK SAYFASI	iii
KABUL VE ONAY	iv
TEŞEKKÜR	v
ÖZET	vi
ABSTRACT	vii
İÇİNDEKİLER	viii
KISALTMALAR	x
TABLolar İÇİNDEKİLER	xi
ŞEKİLLER İÇİNDEKİLER	xii
GİRİŞ	1

1. BÖLÜM

GENEL BİLGİLER ve LİTERATÜR ÇALIŞMASI

1.1. Yazılım Tanımlı Ağ	4
1.1.1. Yazılım Tanımlı Ağlar ile Geleneksel Ağların Karşılaştırılması.....	6
1.1.2. Yazılım Tanımlı Ağlarda Çoklu Denetleyici Yerleştirme Problemi.....	8
1.2. COVID-19 ve Pandemi Hastaneleri	9
1.2.1. COVID-19	9
1.2.2. Pandemi Hastaneleri.....	10
1.3. Literatür Araştırması	10

2. BÖLÜM

YÖNTEM VE MATERYALLER

2.1. Algoritmalar	13
2.1.1. Genetik Algoritma.....	13
2.1.2. Dijkstra Algoritması	14

3. BÖLÜM

UYGULAMA DETAYLARI ve DENEYSEL SONUÇLAR

3.1. Deney 1: YTA’larda DA tabanlı GA ile ÇDYP	16
3.2. Deney 2: Koronavirüsle Mücadelede En İyi Pandemi Hastanesi Lokalizasyonu için YTA Yaklaşımı.....	26

4. BÖLÜM

SONUÇ, TARTIŞMA ve GELECEK ÇALIŞMA

4.1. Sonuç	38
4.2. Tartışma	39
4.3. Gelecek Çalışma	39
KAYNAKÇA	41
ÖZGEÇMİŞ.....	44

KISALTMALAR

YTA : Yazılım Tanımlı Ağ

ÇDYP : Çoklu Denetleyici Yerleşime Problemi

GA : Genetik Algoritma

DA : Dijkstra Algoritması

CNPA : Clustering-Based Network Partition Algorithm



TABLÖLAR LİSTESİ

Tablo 1. Geleneksel Ağlar ile YTA'ların Karşılaştırılması	7
Tablo 2. Birinci Deneyde Kullanılan GA Parametreleri	18
Tablo 3. İkinci Deneyde Kullanılan GA Parametreleri	29
Tablo 4. Deney Sonuçları	32



ŞEKİLLER LİSTESİ

Şekil 1.	Temel YTA Mimarisi	4
Şekil 2.	GA Blok Diyagram.....	14
Şekil 3.	DA Blok Diyagram.....	15
Şekil 4.	ULAKNET Türkiye Haritası	16
Şekil 5.	ULAKNET Avrupa Haritası.....	17
Şekil 6.	Çoklu Denetleyicilerin Yerleştirilmesinden Önce ULAKNET Türkiye Şehir Haritası	17
Şekil 7.	Şehir Mesafe Matrisi	18
Şekil 8.	Rastgele Çözüm Kümesi	19
Şekil 9.	ULAKNET Jenerasyon Çalışma Örnekleri	20
Şekil 10.	ULAKNET Veri Tabanı için Ortalama Fitness Fonksiyon Değeri Yakınsama Grafiği.....	21
Şekil 11.	Colt Veri Tabanı için Ortalama Fitness Fonksiyon Değeri Yakınsama Grafiği.....	21
Şekil 12.	ULAKNET Denetleyici Yerleştirme Örneği-1	22
Şekil 13.	ULAKNET Denetleyici Yerleştirme Örneği-2.....	22
Şekil 14.	ULAKNET Denetleyici Yerleştirme Örneği-3.....	23
Şekil 15.	ULAKNET Denetleyici Yerleştirme Örneği-4.....	23
Şekil 16.	ULAKNET Veri Tabanı Jenerasyonlar sonucu çözüm kümesi.....	24
Şekil 17.	Colt Veri Tabanı Jenerasyonlar sonucu çözüm kümesi.....	24
Şekil 18.	ULAKNET Veri Tabanı için Optimize Edilmiş Denetleyici Yerleştirme Yerleri.....	25
Şekil 19.	Colt Veri Tabanı için Optimize Edilmiş Denetleyici Yerleştirme Yerleri	25
Şekil 20.	En İyi Pandemi Hastane Lokalizasyonu için Kullanılan YTA Yapısı	26
Şekil 21.	Şehir Mesafe Matrisi	27
Şekil 22.	Türkiye şehirlerinin Koronavirüs Matrisi	28
Şekil 23.	Hastane Yerleştirme Problemi için Akıllı Genesi.....	29
Şekil 24.	Rastgele Bağlılık Çözümleri.....	30
Şekil 25.	Optimum Sonucu Veren 9. Çalıştırmanın Bazı Adımları.....	34
Şekil 26.	Optimum Sonucu veren 9. Çalıştırmanın Yakınsama Grafiği.....	35
Şekil 27.	En İyi Hastane Lokalizasyonları.....	36
Şekil 28.	YTA Mimarisinde Pandemi Hastaneler için Elde Edilen şehirler.....	37

GİRİŞ

Günümüzdeki teknolojik gelişmeler ve ağ ile yönetilebilen cihazların artması, ağ yönetimini daha karmaşık hale getirmiştir. Yeni cihazların ağa katılması, ağdan çıkarılması ve cihazların birbirleriyle haberleşmesi hususunda yaşanan zorluklar geleneksel ağ mimarisini, Yazılım Tanımlı Ağ (YTA) mimarisine yönlendirmiştir. YTA yapısında kontrol ve veri katmanı birbirinden ayrılmıştır. Bu sayede kontrol katmanındaki ağ yönetme özelliğine sahip denetleyici ya da denetleyicilerle tüm ağ kontrol altına alınabilmektedir. Kontrol katmanında tek bir denetleyici kullanılabileceği gibi ihtiyaç durumuna göre birden fazla denetleyici de kullanılabilir. YTA'larda tek denetleyici kullanımı yük dengesizliği, aşırı yüklenme, ağ kopması, yanıt gecikmesi gibi problemlere sebep olabilmektedir. Bu tarz problemlerin çözümü için kontrol katmanında birden fazla denetleyici kullanmak önerilmektedir. YTA'larda birden fazla denetleyici kullanmak ise çözülmesi gereken bazı problemleri beraberinde getirmektedir. Kontrol katmanında kaç denetleyici kullanılacağı, denetleyicilerin birbirleri arasında iletişimin nasıl sağlanacağı, denetleyicilerin tüm ağ yükünü aralarında nasıl paylaşacağı ve denetleyicilerin nasıl yerleştirilmesi gerektiği bu problemler arasında yer almaktadır.

Bu çalışmada YTA'larda Çoklu Denetleyici Yerleştirme Problemi (ÇDYP) çözümü için Genetik Algoritma(GA) ile Dijkstra Algoritması(DA) birlikte uygulanmıştır. Türkiye ve Avrupa ağ haritalarındaki gelişlerin, maksimum şekilde faydalanabileceği denetleyici yerleştirilmesi yapılmıştır. Bunun yanı sıra koronavirüs ile mücadele için kurulacak olan pandemi hastanelerinin Türkiye'de yerleştirilmesi, YTA'larda ÇDYP olarak modellenmiştir. Bu modellemeye göre pandemi hastanelerinin kurulması için uygun olan gelişler kontrol katmanını oluştururken bu hastanelerden faydalanacak olan diğer tüm gelişler veri katmanını oluşturmaktadır. Deneyler sonucunda ortaya çıkan veriler ile pandemi hastanelerinin kurulması gereken gelişler belirlenmiş ve sonuçlar

yorumlanmıştır. Önerilen modellemeye göre pandemi hastaneleri tüm şehirlere minimum uzaklıkta fakat hastalığın fazla olduğu şehirlere yakın yerlerde kurulmalıdır.

Tezin Amacı

Günümüzde ağa katılan cihaz sayısının sürekli artması ile ağ yönetimi daha da karmaşık hale gelmiştir. Geniş kapsamlı ağların yönetilmesi için YTA mimarisinin kullanılması hem literatür çalışmalarında ele alınmıştır hem de firma uygulamalarında yerini almaya başlamıştır.

Bu tez çalışmasının amacı YTA'ların ÇDYP'ni GA ve DA kullanarak çözmektir. Çalışmada Türkiye ve Avrupa ağ haritalarında kullanılacak denetleyicileri maksimum kapsam sağlayacak şekilde yerleştirmek amaçlanmıştır. Ayrıca Türkiye'de koronavirüs salgını ile mücadelede kurulması gereken pandemi hastanelerini YTA mimarisi ile modellemeyi amaçlar. Kurulması gereken pandemi hastanelerinin olduğu şehirler, diğer tüm şehirlere minimum mesafede ve maksimum koronavirüs vaka sayısına sahip çözüm kümelerinden oluşmaktadır. Pandemi hastanelerinin kurulum maliyeti göz önünde bulundurulduğunda kurulabilecek hastanelerden maksimum fayda sağlanması amaçlanmaktadır. Çalışma Türkiye için gerçekleştirilmiş olup gerekli verilerin temin edilmesiyle tüm ülkeler için kurulması gereken pandemi hastanelerinin konumu konusunda yol gösterici olmayı amaçlamaktadır.

Tezin İçeriği

Bu tez kapsamında yapılan çalışmalar bölümler halinde sunulmuştur

Birinci bölümde çalışmanın temelinde kullanılan YTA mimarisi anlatılmıştır. YTA mimarisinin avantaj ve dezavantajlarından bahsedilmiş olup geleneksel ağlarla karşılaştırılmıştır. YTA mimarisinde tek denetleyici veya çoklu denetleyici kullanımından bahsedilmiş ayrıca YTA'larda ÇDYP ayrıntılı bir şekilde verilmiştir. Pandemi hastaneleri ve COVID-19 salgını ile ilgili bilgi verilmiş ve bölüm sonunda ilgili literatür sunulmuştur

İkinci bölümde tez çalışmasında kullanılan GA ve DA tanıtılmış ve bu algoritmaların çalışma şekli adımları ve özellikleri verilmiştir.

Üçüncü bölümde YTA yapısı ile gerçekleştirilen iki deney ayrıntılı olarak verilmiştir. Birinci deneyde YTA'larda ÇDYP'ne GA ve DA uygulanarak çözüm önerilmiştir. Türkiye ve Avrupa ağ haritalarındaki koordinatlar kullanılarak elde edilen Çehir haritalarından, maksimum kapsam için ayrı ayrı üçer adet denetleyici yerleşim yerleri grafiklerle sunulmuştur. İkinci deneyde ise birinci deneydeki koordinat değerlerine ek olarak Türkiye'deki ağ haritası veri dosyasına koronavirüs katsayısı eklenerek Türkiye'de kurulacak pandemi hastaneleri için YTA mimarisi modellenmiştir. Deney sonucunda elde edilen veriler grafiklerle gösterilmiştir. Türkiye'de pandemi hastanelerinin kurulması için uygun Çehirler tespit edilmiştir.

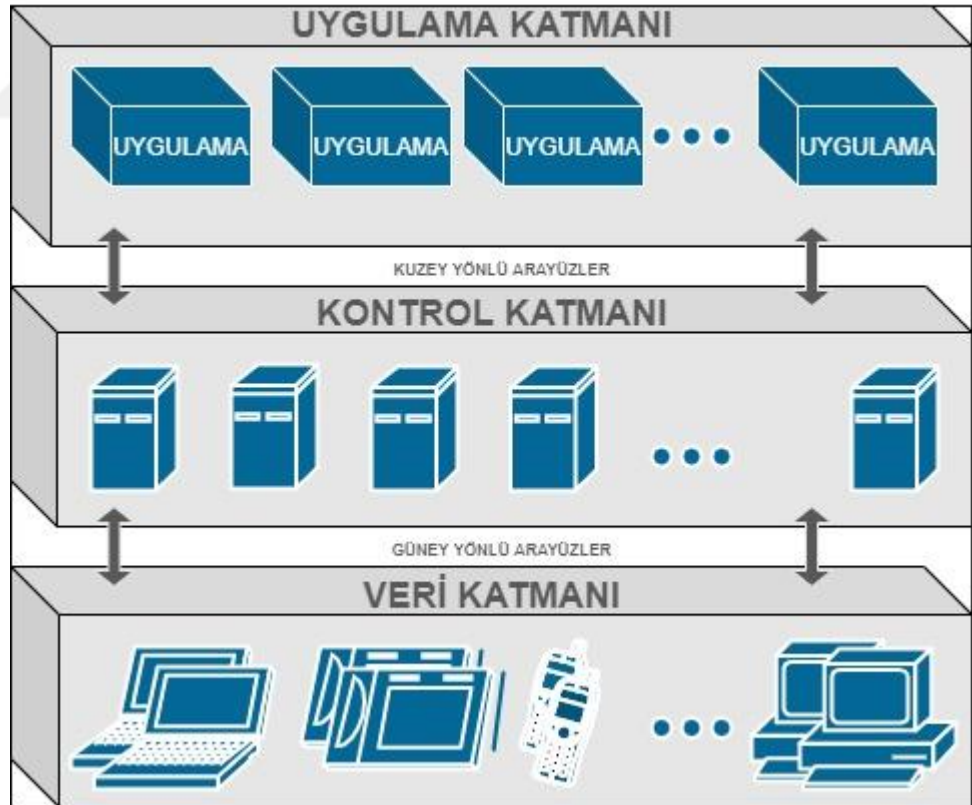
Dördüncü bölümde ise çalışmanın sonuçları, tartışma ve gelecek çalışmalar değerlendirilmiştir.

1. BÖLÜM

GENEL BİLGİLER ve LİTERATÜR ÇALIŞMASI

1.1. Yazılım Tanımlı Ağ

Yazılım Tanımlı Ağ (YTA), mevcut ağ mimarisinin [1] performansını iyileştirmek için ortaya çıkan yeni bir ağ modellemesidir. Uygulama katmanı, kontrol katmanı ve veri katmanından oluşan YTA mimarisinde katmanlar arası iletişim Kuzey ve Güney yönlü arayüzler aracılığıyla gerçekleştirilir. Temel YTA mimarisi Şekil 1'de gösterilmektedir.



Şekil 1. Temel YTA Mimarisi

Şekil 1’de de görüldüğü üzere YTA mimarisinde üç adet katman ve iki adet arayüz bulunmaktadır. Kontrol, kontrol katmanında mantıksal yönetime sahip denetleyici veya denetleyiciler yardımıyla sağlanır. Denetleyiciler; ağ politikalarını uygulama, ağ yapılandırması, topoloji yönetimi, bağlantı bulma, akış tablosu girişi gibi işlemlerden sorumludur. YTA’lar, kontrol düzlemini veri düzleminden ayırdığı için veri düzlemindeki anahtarlar basit yönlendirme cihazları haline gelmektedir. Temel YTA mimarisinde bulunan katmanların ve arayüzlerin özellikleri [1] Şu Şekildedir:

Veri Katmanı: Veri katmanı YTA özellikli anahtarlardan ve diğer ağ elemanlarından oluşur. Veri katmanı güneye bakan arayüzler sayesinde kontrol katmanındaki denetleyicilere akış iletme bilgisi taşır. Veri katmanı, kontrol katmanının verdiği kararlara göre ağ trafiğini yönlendirir. Veri katmanında bulunan anahtarlar üç bölümden oluşur. Bunlar:

OpenFlow protokolü: Kontrol ve veri katmanı arasında standart bir güney arayüzdür. Denetleyicilerin birçoğu OpenFlow ile uyumludur. Birçok ağ anahtarı satıcısı da OpenFlow protokolü ile uyumlu anahtarlar üretmektedir. OpenFlow standartlarına uygun cihaz üretilmesi, kontrol katmanının daha esnek olmasını sağlamaktadır. Openflow, veri katmanındaki bir anahtarın kontrol katmanındaki birden çok denetleyici ile bağlanmasına olanak sağlar. Anahtar ile denetleyiciler üç durumda bulunabilir. Bunlar eGİt, slave (köle) ve master (efendi) Şekindedir. Anahtar ile denetleyicinin eGİt olması durumunda denetleyiciler anahtarlar üzerinde tüm erişim iznine sahiptir. Bir anahtar eGİtdurumdaki denetleyiciye eşzamansız olarak ileti (paket yollama ya da akışı geri çekme bilgisi) gönderebilir. Denetleyiciler eGİt durumdaki anahtarlara geçiş durumunu değiştirmek için kontrol komutu göndererek köle ya da efendi olma isteği yollayabilir. Eğer denetleyici köle durumunda ise anahtar üzerinden salt okunur yetkiye sahiptir. Denetleyicinin anahtar üzerinde efendi olması, eGİt olması ile aynı yetkililerdedir. Fakat bir anahtar aynı anda birden fazla eGİt ya da köle denetleyiciye bağlanabilirken sadece bir efendi denetleyiciye bağlanabilir.

Güvenli kanal: Her bir OpenFlow özellikli anahtarı, denetleyiciye bağlayan arabirimdir.

Akış tablosu: Yönlendirme politikalarından oluşan bir gruptur.

Güney Yönlü Arayüz: Veri katmanı ile kontrol katmanını birbirine bağlayan iletiŞim arayüzüdür. OpenFlow en popüler güney yönlü arayüzlerdendir.

Kontrol Katmanı: YTA'larda aĐın yönetildiĐi bu katman bir ya da daha fazla denetleyici cihazdan oluĐur Denetleyiciler aĐ ilkelerini belirlemek için genel aĐ bilgisine sahip olur ve daha sonra anahtarları güvenli bir kanal üzerinden yapılandırabilirler. Denetleyiciler kendi aralarında iletiŞimi doĐu-batı arayüzleriyle, uygulamalarla iletiŞimi kuzey yönlü arayüzlerle ve veri katmanındaki anahtarla iletiŞimi güney yönlü arayüzler ile sağlamaktadır.

Kuzey Yönlü Arayüz: Uygulama katmanı ile kontrol katmanını birbirine bağlamaktadır. Amaç uygulamaların aĐ kaynaklarını ve bu kaynakların yetkilerini kolayca yönetmesini sağlamaktır. Güneydeki arayüzlerden farklı olarak belli bir standartları yoktur. Çünkü mevcut denetleyiciler ve uygulamaların birleĐtirilip bir standartta bağlanması zordur.

Uygulama Katmanı: Kullanıcı ihtiyaçları için tasarlanmıŐuygulama ve hizmetlerden oluĐur. Uygulamalar kontrol katmanı sayesinde aĐ elamanlarına eriŐebilir.

1.1.1. Yazılım Tanımlı AĐlar ile Geleneksel AĐların KarŐılaŐtırılması

Bilgi teknolojilerinin sürekli geliŐmesiyleinternet, insanların alıŐma ve yaŐam tarzını derinden etkileyen karmaŐk ve büyük ölçekli bir altyapıya dönüŐmüŐtür[2]. Ancak geleneksel aĐın karmaŐıklıĐı, yöneticilerin özellikle dinamik ve karmaŐk aĐ yapılarında alıŐmasını ve bu aĐları yönetmesini zorlaŐtırır. Mevcut aĐların bu sorunlarını iyileŐtirmek için yeni bir teknolojiye ve yöntem ihtiyacı vardır. YTA, bu sorunları özmek için kontrol ve veri katmanlarını birbirinden ayrılması esasına dayanan, aĐın yazılımsal olarak kolayca yönetilmesini sağlayacak ekilde oluŐturulmuŐyeni bir aĐ modellemesidir. Tabloda geleneksel aĐlar ile YTA'ların bazı yönlerden karŐılaŐtırılması yapılmıŐtır.

Tablo 1. Geleneksel Ağlar ile YTA'ların Karşılaştırılması

GELENEKSEL AĞ	YAZILIM TANIMLI AĞ
<p>Yönetim Karmaşıklığı: Ağ yapısı katmanlara ayrılmadığı için büyük ölçekli ağ yapılarının yönetimi zordur. Ağ yönetimi manuel olarak yapılmaktadır.</p>	<p>Yönetim Kolaylığı: Kontrol ve veri katmanı birbirinden ayrı olduğu için ağ yönetimi kolaydır. Ağ içerisindeki trafik ve ağ içerisinde eklenip çıkarılacak cihazlar kontrol katmanındaki denetleyiciler tarafından rahat bir şekilde yönetilebilir.</p>
<p>Düşük Erişilebilirlik: Ağ içerisinde herhangi bir sorun ile karşılaşıldığında problemin kaynağının bulunması zordur ve problemin çözüm süresi uzundur.</p>	<p>Yüksek Erişilebilirlik: Sistemde herhangi bir sorun ile karşılaşıldığında kontrol katmanı hızlı ve etkili bir çözüm sunar.</p>
<p>Aşırı Yüklenme: Ağ içerisinde yoğunluk yaşanması durumunda cihazlar aşırı yüklenebilir. Aşırı yüklenme tıkanıklıklara yol açarak haberleşme sıkıntısına neden olabilir.</p>	<p>Yük Dengeleme: Ağ trafiğinde yaşanan yoğunluk denetleyici katmanı programlanması ile daha az yoğunluğa sahip alanlara paylaştırılabilir. Bu sayede cihazların yük dengelemesi sağlanmış olup haberleşmede sorun yaşanmaz.</p>
<p>Statik Yapılandırma: Ağ içerisindeki yapılandırmalar manuel olarak yapıldığı için zaman kaybına ve yanlışlıklara neden olabilir.</p>	<p>Dinamik Yapılandırma: Kontrol katmanı ile tek merkezden standart ve hızlı bir şekilde veri katmanı elemanları eklenebilir, güncellenebilir ya da devre dışı bırakılabilir.</p>

1.1.2. Yazılım Tanımlı Ağlarda Çoklu Denetleyici Yerleştirme Problemi

YTA mimarisinde kontrol katmanında tek bir denetleyici kullanabileceği gibi ihtiyaç durumuna göre birden fazla denetleyici de kullanılabilir. Kontrol katmanında tek bir denetleyici kullanmak ağın tek bir merkez tarafından yönetilmesi ile tutarlılık açısından avantaj sağlar.[3] Fakat büyük ölçekli ağlarda tek denetleyici kullanmak yeterli olmayabilir. Tek bir kontrol noktasının tek bir hata noktası olması, aynı anda birden fazla isteğe yanıt vermek zorunda olabileceği için darboğaz ve yanıt süresinde gecikme gibi dezavantajları vardır. YTA'lardaki bu tür sorunları çözmek için kontrol katmanında çoklu denetleyici yapısı önerilmiştir. Ancak YTA'larda çoklu denetleyici kullanımı da bazı problemleri beraberinde getirmektedir. Bunlar:

- Kontrol katmanında kullanılacak denetleyici sayısının kaç olması gerektiği,
- Kontrol katmanındaki denetleyicilerin maksimum verimle çalışabilmesi için nasıl konumlandırılması gerektiği
- Kontrol katmanındaki denetleyicilerin teknik özellikleri farklı olabileceği için aralarındaki iletişimin nasıl sağlanacağı,
- Kontrol katmanındaki denetleyicilerin etki alanlarının farklı olması nedeniyle ağ durum bilgisinin nasıl ve ne sıklıkta güncelleneceği problemleridir.

YTA'larda Çoklu Denetleyici kullanımının çeşitli avantaj ve dezavantajları bulunmaktadır. Avantajları;

Yönetim: Farklı denetleyiciler farklı özellikleri nedeniyle tek bir etki alanında ya da bölünmüş iki alanlarında daha etkin bir yönetim sağlayabilir.

Ölçeklenebilirlik: Kontrol katmanında tek bir denetleyici kullanılması ağ yoğunluğuna bağlı olarak ağı yüklemeye sebep olur. Kontrol katmanında çoklu denetleyici kullanımı ağı yüklenmeyi engelleyerek dar boğaz olayını engeller. Çoklu denetleyici kullanımı artan kaynak kullanımı ile kapasite artırımına yardımcı olur.

Gecikme Azaltma: Tüm ağ işlemleri sıralı olarak tek bir denetleyici tarafından yanıtlanırsa denetleyici ağı yüklenir ve yanıt gecikmesine sebep olur. Çoklu

denetleyici kullanımında bu trafik farklı denetleyicilere dağıtılabildiği için yanıt gecikmesi azalır.

Sağlamlık: Çoklu denetleyici kullanımı tek bir denetleyici kullanımının tek bir hata noktası olmasını önler. Denetleyicilerden biri ya da birkaçı arızalandığında diğer denetleyiciler devreye girer. Bu sayede ağ olası durumlar için daha sağlam hale gelmiş olur.

Kararlılık: Çoklu Denetleyici kullanımı ile denetleyicilerde yaşanan problemler, diğer denetleyiciler sayesinde kısa sürede çözülebildiğinden ağ kesintiye uğramadan kararlılığını korur.

Çoklu denetleyici dezavantajları ise Şu Şildedir:

Tutarsızlık: YTA'larda çoklu denetleyici kullanımında ağ durum bilgisinin nasıl eĞileneceği önemli sorunlardan biridir. Denetleyiciler arası tutarsızlık yanıt gecikmelerini artırıp hatalara neden olabilir.

Yerleşirme: YTA mimarisinde kaç denetleyiciye ihtiyaç olduğu ve bu denetleyicilerin en uygun yerleşim yeri önemli sorunlardan biridir.

Zaman Kaybı: Ağı yüklemiş olan bir denetleyicinin en kısa sürede yük dengelenmesinin yapılması gerekmektedir. Ağı yüklenmiş olan denetleyicilerin yüklerinin diğer denetleyicilere dağıtılması zaman alabilir ve ağ işleyişinin aksamasına sebep olabilir.

1.2. COVID-19 ve Pandemi Hastaneleri

1.2.1. COVID-19

COVID-19 veya SARS-CoV-2 olarak da adlandırılan koronavirüs, Şiddetli akut solunum yolu sendromuna neden olan bulaşıcı bir solunum yolu hastalığıdır [4]. Çin Halk Cumhuriyeti'nde ortaya çıkan ve çeŞitli ülkelerden bildirim yapılan koronavirüs hastalığı tüm dünya için halk sağlığı tehdidi oluşturmaktadır.

Özellikle son aylarda COVID-19 salgınının hayatımızdaki mali ve sosyal etkileri oldukça yıkıcıdır. Bu amaçla, hükümetler COVID-19'un yayılmasını yavaşlatmak için

kan testi kitleri satın alma, maske takma ve sosyal mesafe koyma kuralları, esnek çalışma saatleri, çevrimiçi okullar vb. gibi önlenmeler almaktadır. Bunların dışında hükümetlerin etkili kaynak yönetimi ve koordinasyona ihtiyacı vardır. Özellikle, pandemi hastanelerin nereye yerleştirileceği ve yerleştirilecek pandemi hastane sayısının ne olması gerektiği gibi temel zorluklar hükümetler tarafından etkin bir şekilde ele alınmalıdır.

1.2.2. Pandemi Hastaneleri

Pandemi; dünyada birden fazla ülkede veya kıtada, çok geniş bir alanda yayılan ve etkisini gösteren salgın hastalıklara verilen genel isimdir.

Pandemiye neden olan hastalığı taşıyanların tedavisi için özel olarak kurulan hastaneler ise pandemi hastanesi olarak bilinmektedir. Pandemi Hastaneleri; bünyesinde Enfeksiyon Hastalıkları ve Klinik Mikrobiyoloji, Göğüs hastalıkları, İç Hastalıkları uzmanı hekimlerden en az ikisinin bulunduğu ve 3. seviye erişkin yoğun bakım yatağı bulunan hastanelerdir[5].

Koronavirüs gibi tüm dünya yüzeyi gibi çok geniş bir alanda yayılan ve tüm insanlığı etkisi altına alan pandemik hastalıklarla mücadelede pandemi hastaneleri hayati önem taşımaktadır.

1.3. Literatür Araştırması

YTA'larda ÇDYP, literatürde yoğun olarak incelenmiştir. Makaleler [6-18], YTA'ların faydalarını ve uygun tek denetleyici veya çoklu denetleyicilerin dağıtımları için denetleyici yerleştirme problemlerini, buldukları çözümleri açıklamaktadır.

[6] çalışmasında yazarlar, ÇDYP'ye bir çözüm olarak GA ile Parçacık Sürü Optimizasyonu Algoritmasını hibrit olarak kullanarak büyük ölçekli bir ağ için yanıt gecikmelerini en aza indiren bir çözüm sunmaktadır. Hibrit algoritma sayesinde en iyi konum, sadece GA kullanımına kıyasla daha kısa sürede elde edilir.

[7] çalışmasında, ağ yükünün dağıtımı için ÇDYP farklı senaryolar uygulayarak dağıtılmış denetleyicilerin yerleştirme problemlerine çözüm önerilmiştir.

Çretim gecikmesi, kontrol düzlemi kullanımı ve denetleyici iÇyükü dağıtımı gibi farklı yönleri olan ÇDYP [8]'de incelenmiştir. GA ile bir hibrit gradyan iniÇoptimizasyon yöntemi, iki farklı ağ senaryosunda uygulanmışve kontrol düzleminin kullanımı ile ağ yanıt süresi arasındaki dengeyi etkili bir ÇekildekurmuÇtur

[9] çalışmasında, farklı denetleyici yerleÇtime modelleri ve bunların doğruluğu incelenmiştir. Çalışmanın diğer hedefleri, denetleyici kapasitesini, güvenilirliği ve esnekliği en üst düzeye çıkarırken ağ gecikmesini, dağıtım maliyetini ve enerji tüketimini en aza indirmektir. ÇDYP ile ilgili olarak, yazarlar, denetleyici yerleÇtime modelleri tarafından kullanılan arama yöntemlerini göstermek için literatürde benimsenen bir özellik seçme tekniğini sunmuÇtur

[10] çalışmasında, ÇDYP için hiyerarÇikbir K-medyan Algoritması sunmuÇlardır. Ağ içerisinde yük dengelemeyi düÇinerek ağ alanlarını kontrol alanlarına bölerek alanın verimli denetimini sağlamaya çalışırlar.

[11]'de yazarlar, geniÇalan ağları için denetleyiciler ve anahtarlar arasındaki paketleri değerlendirerek yayılma gecikmesini azaltmanın önemli olduğunu savunmaktadır. Küme Tabanlı Ağ Bölümü Algoritması (clustering-based network partition algorithm: CNPA) adı verilen yeni bir yaklaşım önermiştir. CNPA, denetleyici ve denetleyici arasındaki yayılma gecikmesini kısaltmak için ağı alt ağlara böler ve ilgili anahtarları bir alt ağa yerleÇirebilir. Ağ gecikmesini en aza indirmeyi, güvenilirliği ve dayanıklılığı en üst düzeye çıkarmayı, dağıtım maliyetini ve enerji tüketimini en aza indirmeyi amaçlamaktadırlar. ÇDYP için denetleyiciler arasında iÇbirliğine, çoklu denetleyicilerin kullanımıyla maliyet farkındalığına ve optimizasyona dayalı olacak parametrelerin sayısını artırmaya odaklanmaktadır.

[12] 'de yazarlar ÇDYP için çözüm tekniklerini ve sınırlamalarını analiz ederler. Çözüm teknikleri genellikle nesnel iÇlevleredayanmaktadır. Optimum çözümlerin elde edilmesinde, anahtarlar ve denetleyiciler arasındaki yayılma gecikmesi gibi çeÇitli faktörler ve denetleyicilerin ve anahtarların kapasitesi gibi kısıtlamalar dikkate alırlar.

[13] çalışmasında, YTA mimarisini kullanarak Çnterette iÇlenen suçlarla mücadele etmek için uygun maliyetli gerçek zamanlı bir izleme ve kayıt sistemi sunulmuÇtur [14]'te, yazarlar küçük ölçekli ve düÇük maliyetli bir YTA tasarımı uygulanmıştır. Çki

farklı yük dengeleme algoritmasının (Round Robin ve Dijkstra) performansı, [15]'te ise YTA yük dengeleme problemini ele almak için gidiş-dönüş süreleri kullanılarak incelenmiştir.

[16]'da yazarlar, denetleyici yerleştirme probleminde denetleyicilerin yük faktörünü incelemiştir. Bunun için Kapasiteli ÇDYP tanımlanmıştır. Değerlendirme, yeni stratejinin gerekli denetleyici sayısını önemli ölçüde azaltabileceğini ve maksimum yük kontrol cihazının yükünü azaltabileceğini göstermektedir.

[17] çalışmasında yazarlar, YTA'larda ÇDYP için yeni bir matematiksel model önermektedir. Modelin amacı, farklı kısıtlamaları göz önünde bulundurarak ağın maliyetini en aza indirmektir. Simülasyon sonuçları, modelin küçük ölçekli YTA'ları planlamak için kullanılabileceğini göstermektedir.

[18]'de, ağ operatörlerinin planını tanıtmak ve YTA altyapısını güncellemek için yeni bir genişleme modeli sunulmuştur. Belirli bir ağ tasarımı ve anahtarlar için model, yeni ağın topolojisini tasarlamak için kaç tane, nereye ve hangi denetleyicilerin kurulacağını bulur.

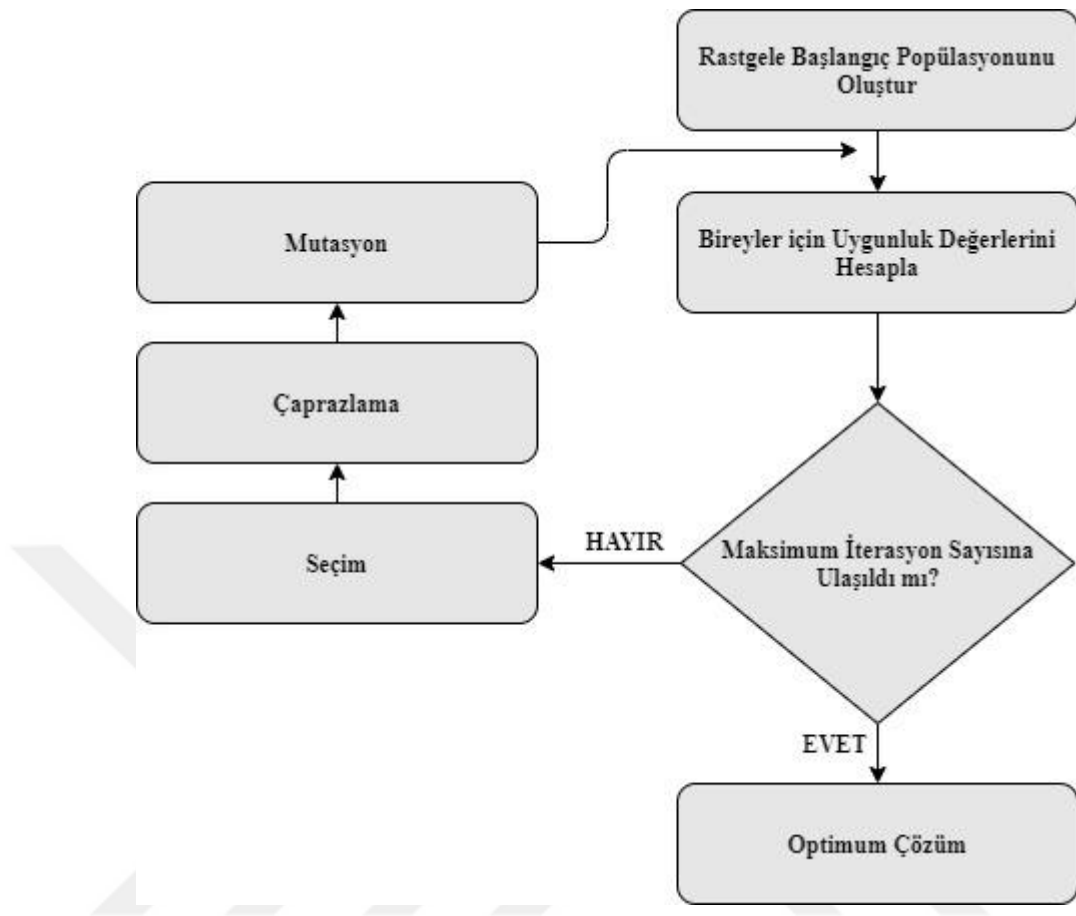
2. BÖLÜM

YÖNTEM VE MATERYALLER

2.1. Algoritmalar

2.1.1. Genetik Algoritma

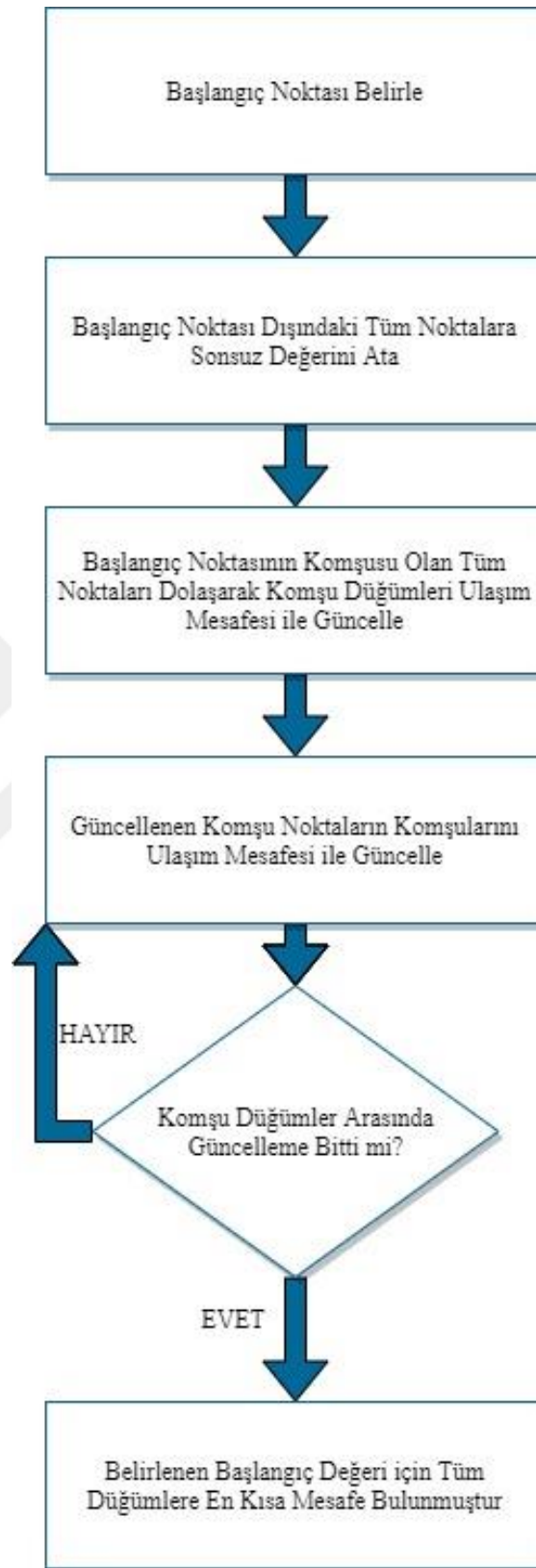
GA, çaprazlama ve mutasyon işlemleriyle yeni bir birey oluşturmak için mevcut nüfustan daha yüksek formda olan ebeveynleri seçen bir popülasyonun doğaya dayalı evrimidir. [19] GA'da temel olarak çaprazlama, mutasyon ve başlangıç gen seçimi olmak üzere üç adım bulunmaktadır. GA süreci, rastgele bir popülasyon oluşturulmasıyla başlar. Başlangıç popülasyonunu oluşturduktan sonra her bireyin uygunluk değerini belirlemek gerekir. Uygunluk değeri, sorunun türüne göre çözüme olan yakınlıkla doğru orantılıdır. Uygunluk değeri ne kadar yüksekse, bir bireyin hayatta kalma ve yeniden üreme şansı o kadar yüksektir. Yüksek uygunluk değerine sahip bireyler çaprazlama adımı için seçilir. Çaprazlama adımında, ebeveyn olarak iki birey seçilir. Seçilen bu bireylerden tek noktalı, çok noktalı, tek tip vb. gibi farklı çaprazlama operatörleri kullanılarak bir veya daha fazla birey üretilir. Çaprazlama işleminin ardından gen havuzunu zenginleştirmek üzere mutasyon işlemi uygulanır. Bu adımlar tamamlandıktan sonra yeni bir popülasyon üretilir. Bu işlemler, belirli bir sonlandırma koşulu karşılanana kadar tekrar edilerek en iyi çözüme gitmek amaçlanmaktadır. GA'nın blok diyagramı şekil 2'de verilmiştir.



Şekil 2. GA Blok Diyagram

2.1.2. Dijkstra Algoritması

DA, en kısa yol araması için en sık kullanılan algoritmalarından biridir. DA'nın amacı, bir grafikteki düğümler arasındaki en kısa mesafeyi bulmaktır [20]. Uygulandığı sorunlara çözüm ararken her adımda en uygun çözümü bulmayı hedeflediği için açgözlü arama prensibini kullanır. DA'nın girdisi ağırlıklı grafiklerdir. Çıktısı ise başlangıç düğümünden grafikteki her bir tepe noktasına giden en kısa yoldur. DA genel işleyişi Şekil 3'te verilmiştir [21].



Şekil 3. DA Blok Diyagramı

3. BÖLÜM

UYGULAMA DETAYLARI ve DENEYSEL SONUÇLAR

DeneYler, Linux tabanlı Ubuntu 16.04 işletim sistemi, 8 GB RAM ve Core i7, 2.0 GHz işlemciye sahip bir makinede Python kodları ile gerçekleştirilmiştir. Python kodlarını derlemek için Pycharm platformu kullanılmıştır.

3.1. Deney 1: YTA'larda DA tabanlı GA ile ÇDYP

Bu deneyde YTA'larda ÇDYP için DA tabanlı DA yaklaşım kullanılarak denetleyici yerleşimi sağlanmıştır. Bu deneyde şekil 4 ve şekil 5'te verilen Topology Zoo veri tabanı bünyesinde bulunan Colt ve ULAKNET veri setlerine ait Avrupa ve Türkiye Ağ Haritaları kullanılmıştır.

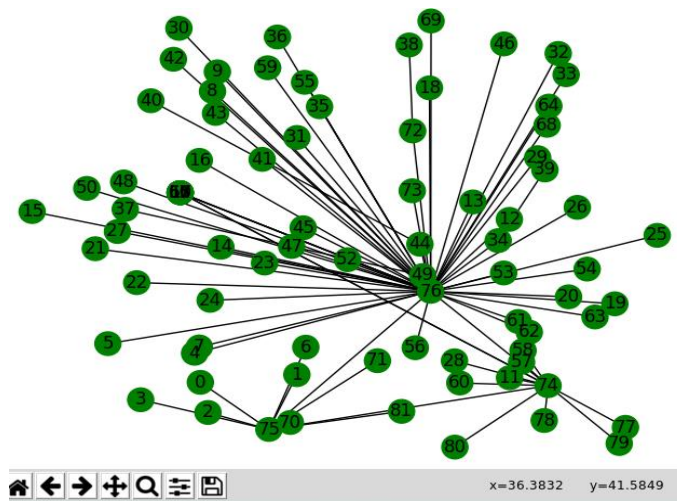


Şekil 4. ULAKNET Türkiye Haritası



Şekil 5. ULAKNET Avrupa Haritası

Topology Zoo [22] veri tabanı bünyesinde bulunan ULAKNET ve Colt veri setlerindeki enlem ve boylam değerleri kullanılarak Türkiye ve Avrupa için sabit birer düğüm haritası çizilmiştir. Türkiye için çizilen sabit düğüm haritasında şekil 6'da görebileceği gibi her bir şehir bir numara ile temsil edilmektedir. Örneğin İstanbul için 74, Ankara için 76, Kayseri için 45, Erzurum için 18 numara tahsis edilmiştir. Bu aşamada henüz denetleyici yerleri belirlenmemiştir.



Şekil 6. Çoklu Denetleyicilerin Yerleştirilmesinden Önce ULAKNET Türkiye şehir Haritası

ğehirlerin koordinatlarına göre Türkiye ağ haritasında DA kullanarak haritalardaki her bir Ğehirin diğeri tüm Ğehirlere olan en kısa mesafelerinin olduđu bir matris oluşturulmuştur. Bu matris Ğekil 7’de 2 numaralı Ğehiriçin gösterilmiştir. Bu değerlere göre örneğin 2 numaralı Ğehirin 34 numaralı Ğehire uzaklığı 3 birim uzaklıktayken 76 numaralı Ğehire olan uzaklığı 2 birim uzaklıktadır.

```
47': 3, u'57': 3, u'50': 3}), 2: defaultdict(<type 'set'>, {u'58': 3, u'30': 3,
u'28': 3, u'29': 3, u'60': 3, u'61': 3, u'62': 3, u'63': 3, u'64': 3, u'65': 3,
u'66': 3, u'67': 3, u'68': 3, u'69': 3, u'80': 3, u'81': 2, u'24': 3, u'25': 3,
u'26': 3, u'27': 3, u'20': 3, u'21': 3, u'48': 3, u'49': 3, u'46': 3, u'23': 3,
u'44': 3, u'45': 3, u'42': 3, u'43': 3, u'40': 4, u'41': 3, u'1': 2, u'0': 2, u'
3': 2, u'2': 0, u'5': 3, u'4': 3, u'7': 3, u'6': 2, u'9': 3, u'8': 3, u'78': 3,
u'18': 3, u'79': 3, u'35': 3, u'39': 4, u'34': 3, u'77': 3, u'76': 2, u'75': 1,
u'74': 2, u'73': 3, u'72': 3, u'71': 2, u'70': 2, u'15': 3, u'38': 4, u'32': 3,
u'14': 3, u'11': 3, u'10': 3, u'13': 3, u'12': 3, u'59': 3, u'22': 3, u'17': 3,
u'16': 3, u'19': 3, u'54': 3, u'31': 3, u'56': 3, u'51': 3, u'36': 3, u'53': 3,
u'52': 3, u'33': 3, u'55': 3, u'37': 4, u'47': 3, u'57': 3, u'50': 3}), 3: defa
```

Şekil 7. Ğehir Mesafe Matrisi

YTA’larda ÇDYP için tercih edilip uygulanan GA parametreleri Tablo 2’de gösterilmiştir. Çalışmada uygulanan modellemeye göre popülasyondaki birey sayısı, ÇDYP çözüm kümesi sayısına karşılık gelmektedir. Bir bireydeki özellik sayısı çözüm kümelerinde kullanılacak denetleyici sayısına karşılık gelmektedir. Ebeveyn yüzdesi, mutasyon oranı ve Rastgele seçim oranı temel GA adımları için kullanılmaktadır. Jenerasyon sayısı ise GA’yı kaç kere çalıştıracağımız anlamına gelmektedir.

Tablo 2. Birinci Deneyde Kullanılan GA Parametreleri

Parametre	Değer
Popülasyondaki Birey Sayısı	100
Bireydeki özellik Sayısı	3
Ebeveyn Yüzdesi	0.1
Mutasyon Oranı	0.05
Rastgele Seçim Oranı	0.01
Jenerasyon Sayısı	1000

Tablo 2’deki GA parametre değerlerine göre bağıngıçta rastgele üç noktanın seçildiği 100 adet 1*3’lük çözüm matrisleri oluşturulmuştur. Şekil 8’de gösterilen çözüm kümeleri, [0 9] Aralığında bulunan sayılardan rastgele seçilerek oluşturulmuştur.

```
[[8, 4, 9], [4, 6, 1], [0, 3, 8], [4, 2, 8], [3, 6, 9], [1, 7, 6], [6, 4, 5], [5, 8, 4], [8, 6, 4], [8, 3, 9], [0, 6, 4], [4, 7, 6], [8, 4, 1], [8, 6, 2], [1, 5, 7], [8, 4, 5], [4, 6, 1], [6, 2, 8], [4, 0, 3], [9, 7, 6], [0, 8, 9], [9, 0, 4], [1, 8, 7], [6, 2, 8], [2, 0, 7], [4, 7, 5], [9, 6, 1], [7, 8, 5], [9, 0, 4], [2, 5, 1], [2, 1, 7], [6, 2, 5], [6, 5, 1], [5, 0, 8], [0, 3, 4], [8, 1, 9], [1, 5, 8], [5, 8, 4], [0, 7, 9], [8, 9, 6], [1, 4, 5], [7, 0, 4], [1, 4, 7], [6, 1, 0], [6, 9, 5], [9, 8, 7], [8, 0, 6], [6, 8, 1], [1, 7, 0], [4, 1, 5], [2, 9, 8], [7, 5, 4], [1, 8, 4], [9, 8, 0], [8, 2, 9], [8, 2, 7], [9, 1, 0], [1, 8, 0], [6, 2, 3], [5, 9, 7], [3, 5, 9], [0, 5, 4], [0, 1, 2], [4, 7, 2], [8, 1, 6], [7, 5, 0], [4, 2, 7], [4, 1, 9], [9, 1, 8], [2, 8, 5], [2, 4, 0], [1, 9, 0], [6, 3, 7], [1, 5, 3], [5, 6, 8], [1, 0, 5], [6, 8, 4], [0, 4, 9], [7, 5, 8], [7, 3, 1], [5, 1, 2], [1, 7, 5], [8, 7, 1], [3, 1, 2], [2, 4, 0], [4, 9, 2], [8, 9, 4], [8, 9, 0], [3, 7, 5], [5, 3, 8], [8, 4, 1], [3, 8, 1], [0, 7, 5], [0, 5, 8], [3, 7, 0], [1, 3, 8], [1, 0, 2], [2, 1, 9], [6, 8, 0], [4, 3, 6]]
```

Şekil 8. Rastgele Çözüm Kümesi

Rastgele çözüm kümelerinin oluşturulmasının ardından bu çözüm kümelerine GA uygulanacaktır. GA’nın çalışabilmesi için bireylerin uygunluk değerlerine ihtiyaç duyulur. Uygunluk değerleri her jenerasyonun sonunda uygunluk fonksiyonu ile hesaplanır. Uygunluk fonksiyonunun değeri bir Çehim diğer Çehirlere olan uzaklıkları ile ters orantılıdır. Bir çözüm kümesindeki Çehirlerin diğer Çehirlere uzaklıkları ne kadar düşükse uygunluk değeri o kadar yüksektir. Her bir jenerasyonda bir çözüm kümesi için ortalama bir uygunluk fonksiyonu değeri belirlenir. Bir jenerasyonda bulunan çözüm, yerel optimum noktası ve bulunan ortalama değer ise yerel optimum değeridir. Tüm jenerasyonlar tamamlandıktan sonra yerel optimum noktası ve yerel optimum değerleri arasından en optimum değer seçilerek global optimum olarak atanır.

Çalışma 1000 jenerasyon çalıştırılmıştır. ULAKNET veri tabanında gerçekleştirilen deneyin bazı jenerasyon sonuçları Şekil 9’da gösterilmiştir. Şekil 9’a göre örneğin 17. iterasyonda 1,7926 yerel optimum değeri elde edilmiştir. 228. Jenerasyonda 1,0121 yerel optimum değeri elde edilmiştir. Bu jenerasyonlarda elde edilen bu ortalama değerler, o iterasyondaki elde edilen optimum çözüm kümesindeki denetleyici Çehire bağlıdır. Çalışma 1000 jenerasyon çalıştırıldığında tüm jenerasyonlardan elde edilen yerel optimum değerlerinden minimumu global optimum değerine karşılık gelir.

```

edanut@eda: ~/Downloads/genetic-controller-placement-master
Dosya Düzenle Görünüm Ara Uçbirim Yardım
edanut@eda:~/Downloads/genetic-controller-placement-master$ python main.py
Generation (0) ==> 2.0897560975609766
Generation (1) ==> 2.0853658536585375
Generation (2) ==> 2.0721951219512205
Generation (3) ==> 1.9726829268292678
Generation (4) ==> 1.9580487804878037
Generation (5) ==> 1.9390243902439013
Generation (6) ==> 1.9390243902439013
Generation (7) ==> 1.9390243902439013
Generation (8) ==> 1.9390243902439013
Generation (9) ==> 1.9390243902439013
Generation (10) ==> 1.9390243902439013
Generation (11) ==> 1.9247560975609759
Generation (12) ==> 1.8468292682926855
Generation (13) ==> 1.8252439024390263
Generation (14) ==> 1.794146341463413
Generation (15) ==> 1.819512195121949
Generation (16) ==> 1.7926829268292666
Generation (17) ==> 1.7926829268292666
Generation (18) ==> 1.830975609756095
Generation (19) ==> 1.7940243902439013
Generation (20) ==> 1.7926829268292666
Generation (21) ==> 1.7926829268292666
Generation (22) ==> 1.7926829268292666

edanut@eda: ~/Downloads/genetic-controller-placement-master
Dosya Düzenle Görünüm Ara Uçbirim Yardım
Generation (206) ==> 1.1885365853658515
Generation (207) ==> 1.0975609756097537
Generation (208) ==> 1.16012195121951
Generation (209) ==> 1.0975609756097537
Generation (210) ==> 1.0975609756097537
Generation (211) ==> 1.1123170731707297
Generation (212) ==> 1.0975609756097537
Generation (213) ==> 1.0990243902439003
Generation (214) ==> 1.0975609756097537
Generation (215) ==> 1.1056097560975588
Generation (216) ==> 1.0975609756097537
Generation (217) ==> 1.0975609756097537
Generation (218) ==> 1.0985365853658515
Generation (219) ==> 1.2435365853658522
Generation (220) ==> 1.1948780487804855
Generation (221) ==> 1.163780487804876
Generation (222) ==> 1.1698780487804856
Generation (223) ==> 1.1576829268292663
Generation (224) ==> 1.1881707317073151
Generation (225) ==> 1.1352439024390228
Generation (226) ==> 1.0650000000000013
Generation (227) ==> 1.0121951219512215
Generation (228) ==> 1.0121951219512215
Generation (229) ==> 1.0530024390243018

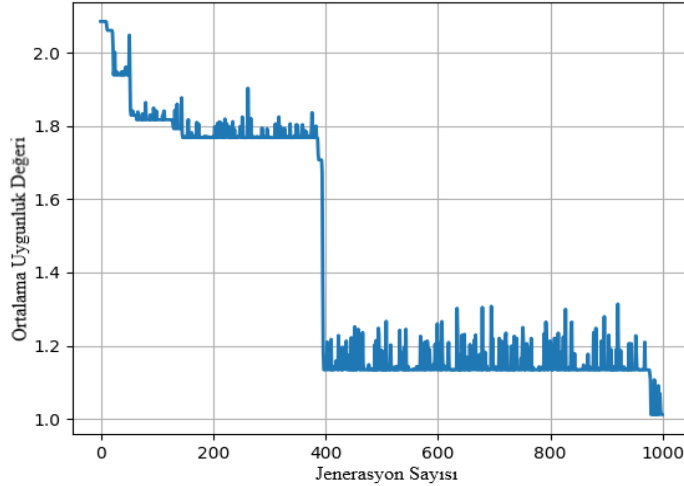
edanut@eda: ~/Downloads/genetic-controller-placement-master
Dosya Düzenle Görünüm Ara Uçbirim Yardım
Generation (504) ==> 1.1160975609756114
Generation (505) ==> 1.0121951219512215
Generation (506) ==> 1.0121951219512215
Generation (507) ==> 1.0200000000000018
Generation (508) ==> 1.0121951219512215
Generation (509) ==> 1.0121951219512215
Generation (510) ==> 1.076951219512197
Generation (511) ==> 1.1529268292682946
Generation (512) ==> 1.0190243902439042
Generation (513) ==> 1.0121951219512215
Generation (514) ==> 1.0121951219512215
Generation (515) ==> 1.0121951219512215
Generation (516) ==> 1.0121951219512215
Generation (517) ==> 1.0121951219512215
Generation (518) ==> 1.0121951219512215
Generation (519) ==> 1.0121951219512215
Generation (520) ==> 1.0200000000000018
Generation (521) ==> 1.0121951219512215
Generation (522) ==> 1.0121951219512215
Generation (523) ==> 1.0207317073170747
Generation (524) ==> 1.0121951219512215
Generation (525) ==> 1.0780487804878067
Generation (526) ==> 1.0121951219512215
Generation (527) ==> 1.023902439024392

edanut@eda: ~/Downloads/genetic-controller-placement-master
Dosya Düzenle Görünüm Ara Uçbirim Yardım
Generation (978) ==> 1.0268292682926845
Generation (979) ==> 1.0121951219512215
Generation (980) ==> 1.0121951219512215
Generation (981) ==> 1.0190243902439042
Generation (982) ==> 1.0121951219512215
Generation (983) ==> 1.0121951219512215
Generation (984) ==> 1.02158536585366
Generation (985) ==> 1.0229268292682945
Generation (986) ==> 1.0190243902439042
Generation (987) ==> 1.0121951219512215
Generation (988) ==> 1.0121951219512215
Generation (989) ==> 1.0121951219512215
Generation (990) ==> 1.0209756097560994
Generation (991) ==> 1.076951219512197
Generation (992) ==> 1.0307317073170745
Generation (993) ==> 1.0121951219512215
Generation (994) ==> 1.02158536585366
Generation (995) ==> 1.0481707317073192
Generation (996) ==> 1.0121951219512215
Generation (997) ==> 1.0121951219512215
Generation (998) ==> 1.0121951219512215
Generation (999) ==> 1.0121951219512215
[76, 74, 75] with a value of 1.0121951219512195
edanut@eda:~/Downloads/genetic-controller-placement-master$

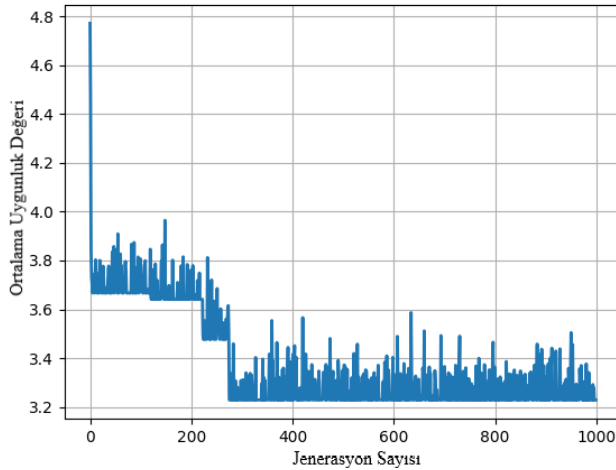
```

Şekil 9. ULAKNET Jenerasyon Çalışma Örnekleri

Her bir jenerasyon sonucunda sonucu global optimum değere götüren yerel optimum değerlerinden elde edilen yakınsama grafiği ULAKNET veri tabanında çekil 10'da, Colt veri tabanında çekil 11'de gösterilmiştir.



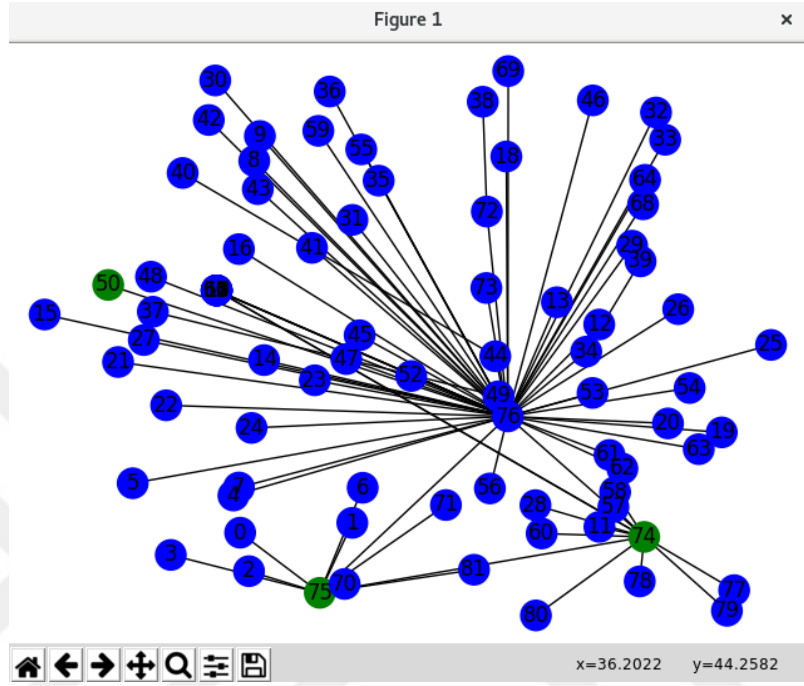
Şekil 10. ULAKNET Veri Tabanı için Ortalama Fitness Fonksiyon Değeri Yakınsama Grafiği



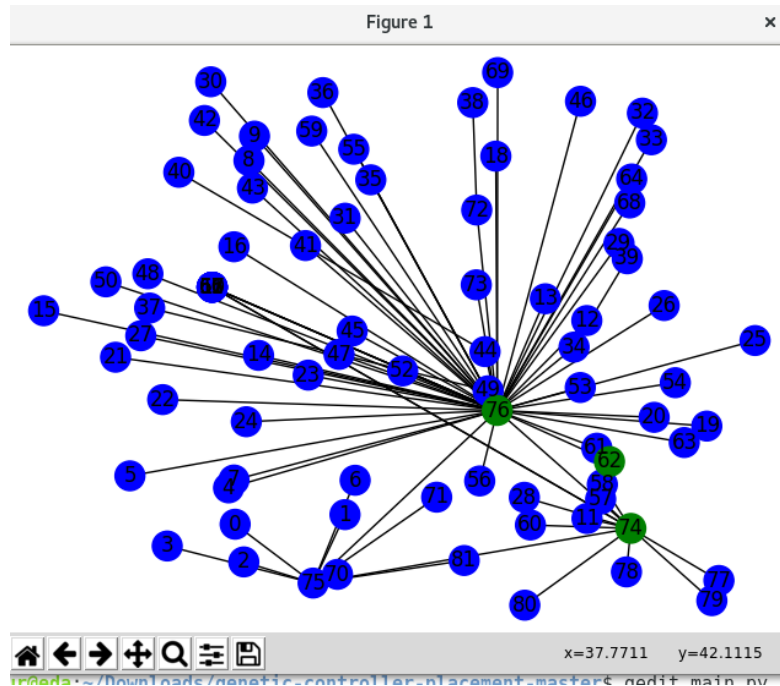
Şekil 11. Colt Veri Tabanı için Ortalama Fitness Fonksiyon Değeri Yakınsama Grafiği

ULAKNET veritabanına GA uygulanarak farklı zamanda gerçekleştirilen 4 örnek deney sonucu ile elde edilen üç denetleyicinin yerleşim çehre çekil 12, 13, 14 ve 15'te gösterilmiştir. ULAKNET veritabanı ile Türkiye ağ haritasına algoritmalarımız uygulandığında en iyi yerleşim yerleri çekil 12'de 50, 74 ve 75 numaralara karşılık gelen Kilis, İstanbul ve Gzmir Çehirleri iken çekil 13'de 62, 74 ve 76 numaralara karşılık

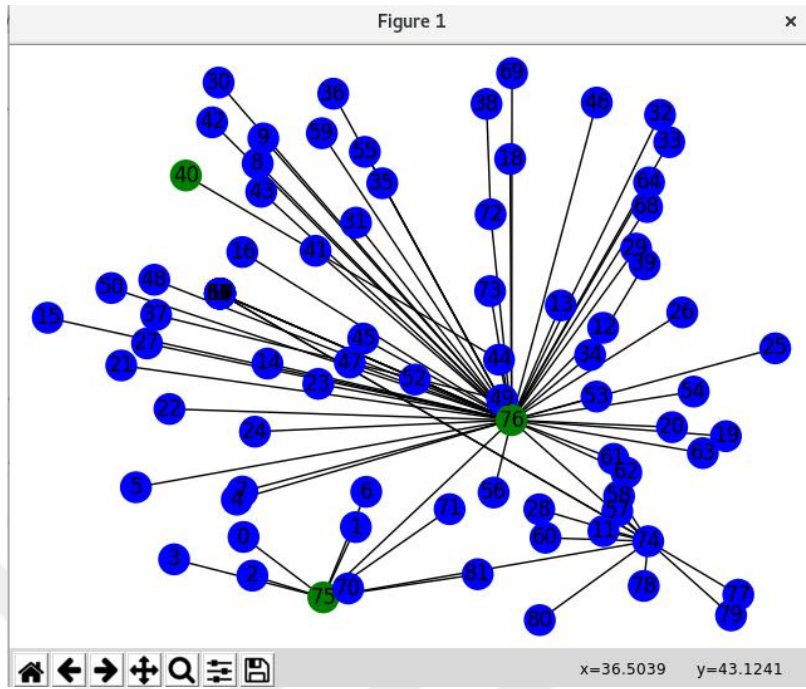
gelen Düzce, İstanbul ve Ankara Çehirleridir. çekil 14'te bulunan en iyi yerleçim yerleri 40, 75 ve 76 numaralara karçılık gelen Mardin, Çmir ve Ankara Çehirleri iken çekil 15'te 71, 74 ve 76 numaralara karçılık gelen Kütahya, İstanbul ve Ankara Çehirleridir.



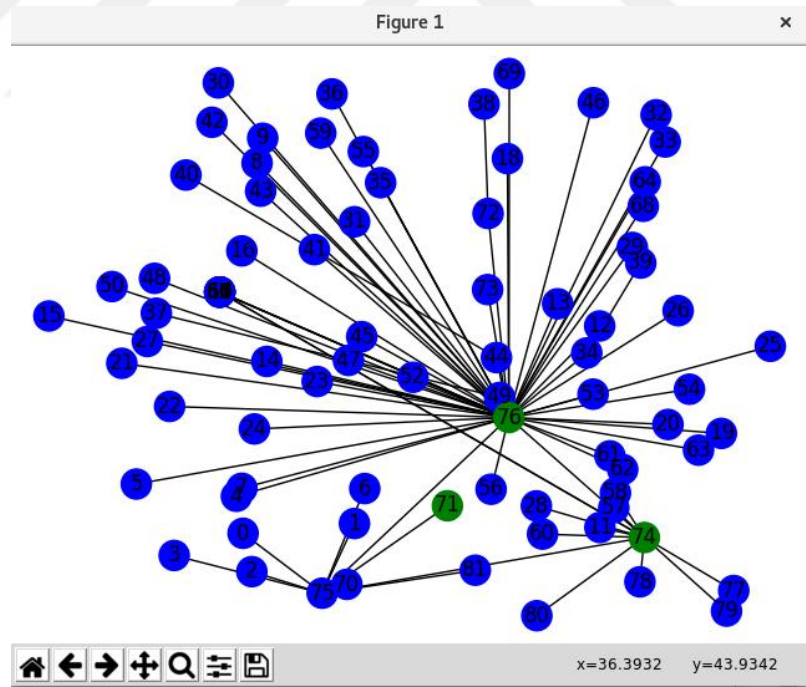
Şekil 12. ULAKNET Denetleyici YerleçimÖrneđi-1



Şekil 13. ULAKNET Denetleyici YerleçimÖrneđi-2



Şekil 14. ULAKNET Denetleyici Yerleşim Örneği-3



Şekil 15. ULAKNET Denetleyici Yerleşim Örneği-4

1000 jenerasyon sonucu elde edilen global optimum çözümler ve buna bağlı olarak elde edilen değerler ULAKNET veri tabanı için şekil 16’da, Colt veri tabanı için şekil 17’de gösterilmiştir.

```

Generation (980) ==> 1.0121951219512215
Generation (981) ==> 1.0121951219512215
Generation (982) ==> 1.0481707317073192
Generation (983) ==> 1.0121951219512215
Generation (984) ==> 1.0121951219512215
Generation (985) ==> 1.1073170731707338
Generation (986) ==> 1.0175609756097581
Generation (987) ==> 1.0121951219512215
Generation (988) ==> 1.0121951219512215
Generation (989) ==> 1.024146341463416
Generation (990) ==> 1.0121951219512215
Generation (991) ==> 1.0735365853658556
Generation (992) ==> 1.0913414634146361
Generation (993) ==> 1.0121951219512215
Generation (994) ==> 1.021951219512197
Generation (995) ==> 1.0697560975609774
Generation (996) ==> 1.0296341463414647
Generation (997) ==> 1.0121951219512215
Generation (998) ==> 1.0121951219512215
Generation (999) ==> 1.0121951219512215
[74, 75, 76] with a value of 1.0121951219512195

```

Şekil 16. ULAKNET Veri Tabanı Jenerasyonlar sonucu çözüm kümesi

```

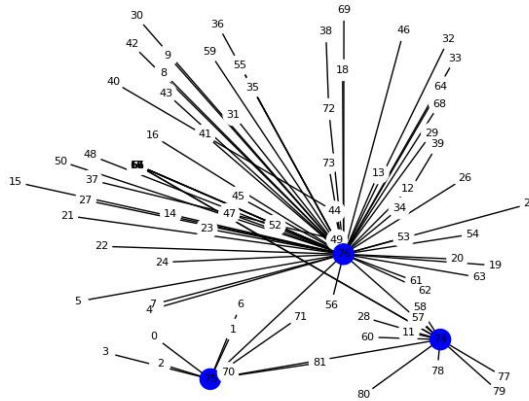
Generation (980) ==> 3.376405228758169
Generation (981) ==> 3.22875816993464
Generation (982) ==> 3.32797385620915
Generation (983) ==> 3.320915032679738
Generation (984) ==> 3.22875816993464
Generation (985) ==> 3.341176470588234
Generation (986) ==> 3.22875816993464
Generation (987) ==> 3.22875816993464
Generation (988) ==> 3.22875816993464
Generation (989) ==> 3.22875816993464
Generation (990) ==> 3.22875816993464
Generation (991) ==> 3.22875816993464
Generation (992) ==> 3.22875816993464
Generation (993) ==> 3.2918954248366017
Generation (994) ==> 3.22875816993464
Generation (995) ==> 3.278758169934639
Generation (996) ==> 3.22875816993464
Generation (997) ==> 3.22875816993464
Generation (998) ==> 3.22875816993464
Generation (999) ==> 3.22875816993464
[51, 30, 152] with a value of 3.2287581699346406

```

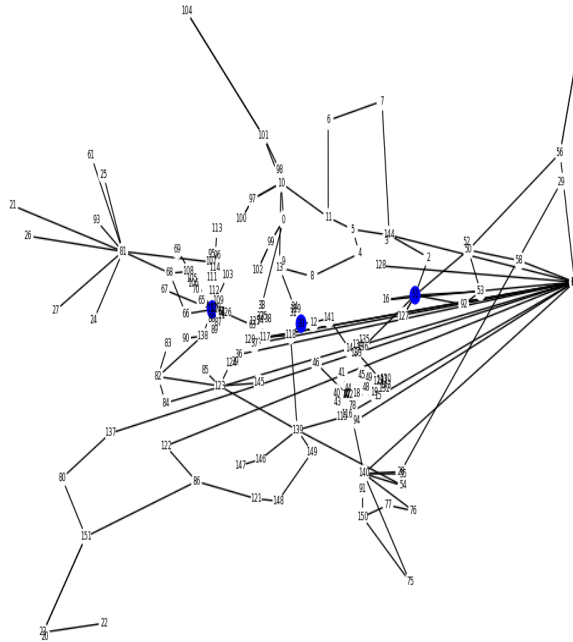
Şekil 17. Colt Veri Tabanı Jenerasyonlar sonucu çözüm kümesi

Şekil 16'da 1000 jenerasyon sonucunda ULAKNET veritabanı için en optimum değer olan 1.0122 değerini veren 74,75 ve 76. Şehirlerinden oluşan çözüm kümesi ile elde edilmiştir. 76 Ankara, 74 İstanbul ve 75 ise İzmir'i temsil etmektedir. Colt veritabanı için ise Şekil 17'de en optimum değer olan 3.2288 değerini veren 51,30 ve 152. şehirlerden oluşan çözüm kümesidir. 51 Almanya'daki Hamburg Şehrini, 30 Almanya'daki Karlsruhe Şehrini ve 152 İtalya'daki Milan Şehrini temsil etmektedir.

Deney sonucunda haritada DA ve GA kullanılarak elde edilen denetleyici yerleşim yerleri ULAKNET veri tabanı için Şekil 18'de, Colt veri tabanı için Şekil 19'da gösterilmiştir.



Şekil 18. ULAKNET Veri Tabanı için Optimize Edilmiş Denetleyici Yerleşim Yerleri

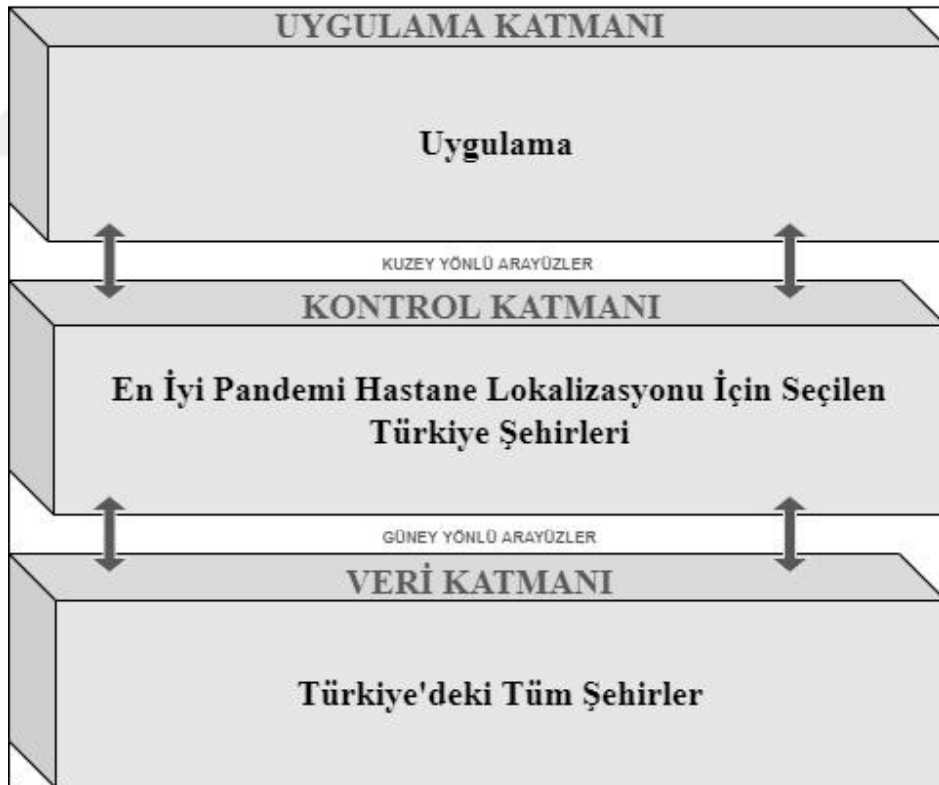


Şekil 19. Colt Veri Tabanı için Optimize Edilmiş Denetleyici Yerleşim Yerleri

Bu çalışmada YTA'larda ÇDYP, DA temelli GA ile çözülmüştür DA'nın her bir çalışmada en yakın mesafeyi bulma özelliğinden ve GA'nın her bir çalışmada zamanında en iyi çözümü bulma özelliğinden yararlanılarak bir sistem tasarlanmıştır, bu sistem iki farklı veri setine uygulanmıştır ve elde edilen optimum çözümler grafla oluşturulan harita üzerinde gösterilmiştir.

3.2. Deney 2: Koronavirüsle Mücadelede En İyi Pandemi Hastanesi Lokalizasyonu için YTA Yaklaşımı

Bu deneyde, tüm dünyayı etkisi altına alan koronavirüs salgınıyla mücadelede gerekli olan pandemi hastanelerinin Türkiye'nin hangi şehirlerine kurulması gerektiği ile ilgili çözüm önerilmiştir. Hastane yerleştirme sorunu için GA ve DA, YTA modeline birlikte uygulanmıştır. Pandemi hastanesi yerleştirme probleminin YTA altyapısında nasıl modellendiği şekil 20'de gösterilmiştir. Bu modellemeye göre kontrol katmanı Türkiye'de pandemi hastanesinin kurulması için seçilen şehirlerden oluşmaktadır. Veri katmanında ise Türkiye'deki tüm şehirlerden oluşmaktadır. Kontrol katmanında seçilen şehirler veri katmanında bulunan şehirler için denetleyici rolü oynamaktadır. Amaç kontrol katmanında seçilen şehirlerdeki pandemi hastanelerin diğer tüm şehirlerin pandemi hastanesi ihtiyacını maksimum oranda karşılamasıdır.

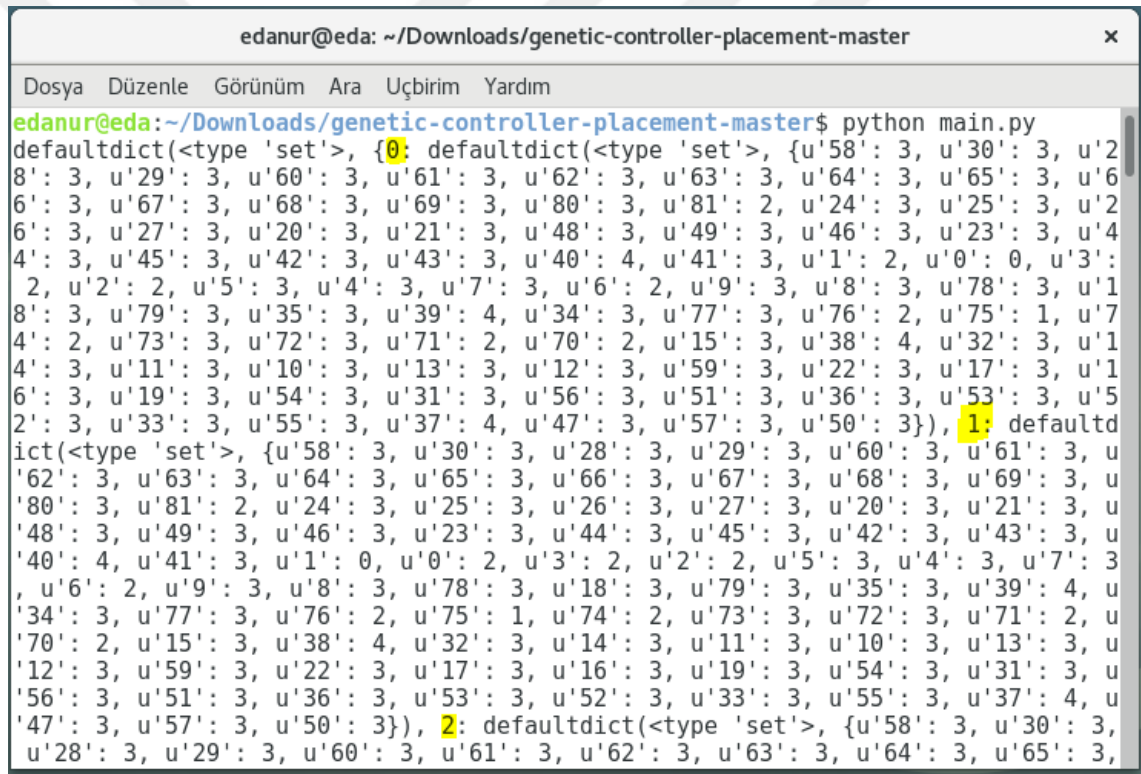


Şekil 20. En İyi Pandemi Hastane Lokalizasyonu için Kullanılan YTA Yapısı

ULAKNET veri setindeki enlem ve boylam değerleri kullanılarak elde edilen Türkiye için sabit bir düğüm haritası şekil 6'da gösterilmiştir. Bu ağ haritasında her bir şehir bir

numara ile temsil edilmektedir. Bu aşamada henüz denetleyici yerleri belirlenmemiştir. Örneğin İstanbul için 74, Ankara için 76, Kayseri için 45, Erzurum için 18 numara tahsis edilmiştir.

Türkiye'deki şehirlerin koordinat değerlerine göre her bir şehir diğer şehire olan minimum uzaklıklar DA ile hesaplanır. Şekil 21'de her bir şehir için diğer tüm şehirlere olan minimum uzaklıklarından oluşan matris gösterilmiştir. Şekil 21'deki sarı ile belirtilen 1. şehir olan Uşak için 25. şehir olan Sinop şehrine minimum uzaklığı 3 birim iken 40 numaralı şehir olan Mardin'e minimum uzaklığı 4 birimdir.



```

edanur@eda: ~/Downloads/genetic-controller-placement-master
Dosya Düzenle Görünüm Ara Uçbirim Yardım
edanur@eda:~/Downloads/genetic-controller-placement-master$ python main.py
defaultdict(<type 'set'>, {0: defaultdict(<type 'set'>, {u'58': 3, u'30': 3, u'28': 3, u'29': 3, u'60': 3, u'61': 3, u'62': 3, u'63': 3, u'64': 3, u'65': 3, u'66': 3, u'67': 3, u'68': 3, u'69': 3, u'80': 3, u'81': 2, u'24': 3, u'25': 3, u'26': 3, u'27': 3, u'20': 3, u'21': 3, u'48': 3, u'49': 3, u'46': 3, u'23': 3, u'44': 3, u'45': 3, u'42': 3, u'43': 3, u'40': 4, u'41': 3, u'1': 2, u'0': 0, u'3': 2, u'2': 2, u'5': 3, u'4': 3, u'7': 3, u'6': 2, u'9': 3, u'8': 3, u'78': 3, u'18': 3, u'79': 3, u'35': 3, u'39': 4, u'34': 3, u'77': 3, u'76': 2, u'75': 1, u'74': 2, u'73': 3, u'72': 3, u'71': 2, u'70': 2, u'15': 3, u'38': 4, u'32': 3, u'14': 3, u'11': 3, u'10': 3, u'13': 3, u'12': 3, u'59': 3, u'22': 3, u'17': 3, u'16': 3, u'19': 3, u'54': 3, u'31': 3, u'56': 3, u'51': 3, u'36': 3, u'53': 3, u'52': 3, u'33': 3, u'55': 3, u'37': 4, u'47': 3, u'57': 3, u'50': 3}), 1: defaultdict(<type 'set'>, {u'58': 3, u'30': 3, u'28': 3, u'29': 3, u'60': 3, u'61': 3, u'62': 3, u'63': 3, u'64': 3, u'65': 3, u'66': 3, u'67': 3, u'68': 3, u'69': 3, u'80': 3, u'81': 2, u'24': 3, u'25': 3, u'26': 3, u'27': 3, u'20': 3, u'21': 3, u'48': 3, u'49': 3, u'46': 3, u'23': 3, u'44': 3, u'45': 3, u'42': 3, u'43': 3, u'40': 4, u'41': 3, u'1': 0, u'0': 2, u'3': 2, u'2': 2, u'5': 3, u'4': 3, u'7': 3, u'6': 2, u'9': 3, u'8': 3, u'78': 3, u'18': 3, u'79': 3, u'35': 3, u'39': 4, u'34': 3, u'77': 3, u'76': 2, u'75': 1, u'74': 2, u'73': 3, u'72': 3, u'71': 2, u'70': 2, u'15': 3, u'38': 4, u'32': 3, u'14': 3, u'11': 3, u'10': 3, u'13': 3, u'12': 3, u'59': 3, u'22': 3, u'17': 3, u'16': 3, u'19': 3, u'54': 3, u'31': 3, u'56': 3, u'51': 3, u'36': 3, u'53': 3, u'52': 3, u'33': 3, u'55': 3, u'37': 4, u'47': 3, u'57': 3, u'50': 3}), 2: defaultdict(<type 'set'>, {u'58': 3, u'30': 3, u'28': 3, u'29': 3, u'60': 3, u'61': 3, u'62': 3, u'63': 3, u'64': 3, u'65': 3,

```

Şekil 21. şehir Mesafe Matrisi

Bir şehirdeki belli bir tarihteki koronavirüslü hasta sayısı o şehir koronavirüs katsayısı olarak kabul edilir. ULAKNET veritabanı dosyasına enlem ve boylam değerlerine ek olarak 03/04/2020 tarihinde Türkiye'deki şehirlerin koronavirüs katsayı değerleri [23] veri dosyasındaki şehir özelliklerine eklenmiştir. Koronavirüs katsayı değerleri Şekil 22'de gösterilmiştir. Örneğin 74 ili İstanbul'a karşılık gelirken 76 Ankara'ya

karşıklık gelir ve İstanbul ve Ankara'nın koronavirüs katsayıları 03/04/2020 tarihinde sırasıyla 12231 ve 860'tır.

```

edanur@eda: ~/Downloads/genetic-controller-placement-master
Dosya Düzenle Görünüm Ara Uçbirim Yardım
edanur@eda:~/Downloads/genetic-controller-placement-master$ python main.py
['0:', '86', '1:', '40', '2:', '20', '3:', '46', '4:', '3', '5:', '102', '6:', '18', '7:', '289', '8:', '9', '9:', '44', '10:', '2', '11:', '64', '12:', '38', '13:', '90', '14:', '12', '15:', '32', '16:', '32', '17:', '128', '18:', '78', '19:', '9', '20:', '20', '21:', '17', '22:', '14', '23:', '5', '24:', '601', '25:', '35', '26:', '167', '27:', '241', '28:', '16', '29:', '73', '30:', '2', '31:', '12', '32:', '5', '33:', '20', '34:', '34', '35:', '35', '10', '36:', '24', '37:', '47', '38:', '31', '39:', '88', '40:', '51', '41:', '66', '42:', '9', '43:', '46', '44:', '15', '45:', '130', '46:', '18', '47:', '27', '48:', '49', '49:', '23', '50:', '17', '51:', '2', '52:', '7', '53:', '25', '54:', '26', '55:', '14', '56:', '118', '57:', '500', '58:', '337', '59:', '22', '60:', '259', '61:', '19', '62:', '32', '63:', '197', '64:', '101', '65:', '18', '66:', '2', '67:', '2', '68:', '77', '69:', '2', '70:', '100', '71:', '5', '72:', '15', '73:', '80', '74:', '12231', '75:', '1105', '76:', '860', '77:', '49', '78:', '121', '79:', '91', '80:', '30', '81:', '106']

```

Şekil 22. Türkiye şehirlerinin Koronavirüs Matrisi

Veri dosyamızda İstanbul'a ait enlem, boylam ve koronavirüs katsayı verileri aşağıdaki gibidir:

```

<node id="74">
<data key="d29">1</data>
<data key="d30">41.01384</data>
<data key="d31">Turkey</data>
<data key="d32">Red Colour</data>
<data key="d33">74</data>
<data key="d34">28.94966</data>
<data key="d35">Istanbul</data>
<uuid name="uuid">12231</uuid>
<sehir_no name="sehir_no">74</sehir_no>
</node>

```

Türkiye'deki tüm şehirler için veriler aynı şekilde enlem, boylam ve koronavirüs katsayısı ile doldurulmuştur

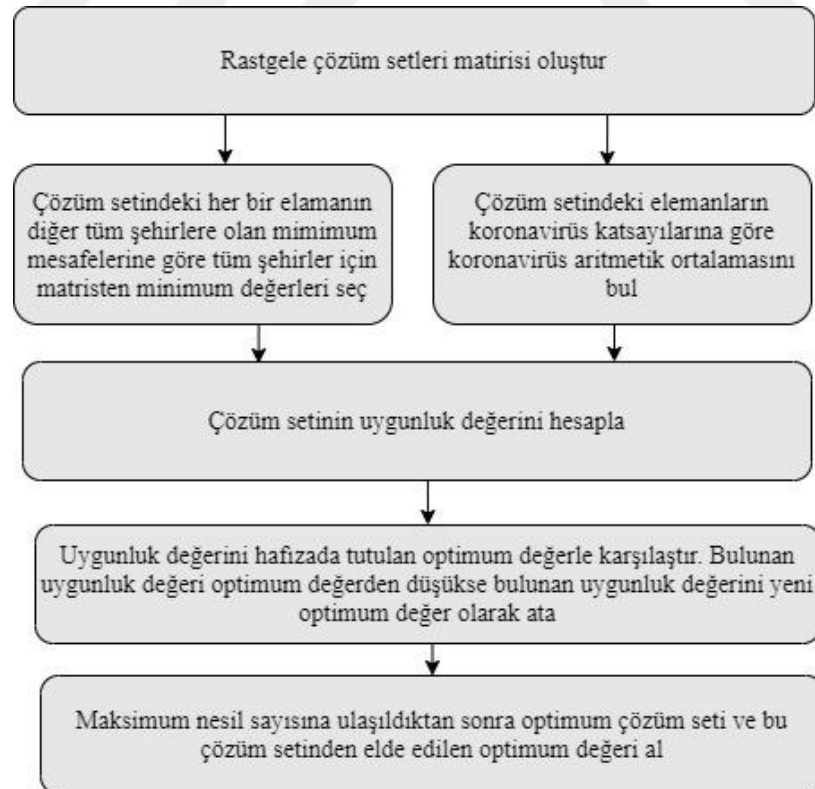
Bu çalışmada ULAKNET veri setine uygulanan GA parametre değerleri Tablo 3'te listelenmiştir. Çalışmada uygulanan modellemeye göre popülasyonundaki birey sayısı,

ÇDYP’de çözüm kümesi sayısına karşılık gelmektedir. Bir bireydeki özellik sayısı çözüm kümelerinde kullanılacak denetleyici sayısına karşılık gelmektedir. Ebeveyn yüzdesi, mutasyon oranı ve rastgele seçim oranı temel GA adımları için kullanılmaktadır. Jenerasyon sayısı ise GA’yı kaç kere çalıştıracağımız anlamına gelmektedir.

Tablo 3. İkinci Deneyde Kullanılan GA Parametreleri

Parametre	Değer
Popülasyondaki Birey Sayısı	100
Bireydeki özellik Sayısı	10
Ebeveyn Yüzdesi	0.1
Mutasyon Oranı	0.05
Rastgele Seçim Oranı	0.01
Jenerasyon Sayısı	1000

YTA’larda ÇDYP’ye göre modellediğimiz hastane yerleştirme problemi için şekil 23’te akış çması sunulmuştur.



Şekil 23. Hastane Yerleştirme Problemi için Akış çması

Şekil 23'teki akıllı Genetimsinin ilk adımı olan rasgele çözüm kümesi Tablo 3'te listelenen parametreler kullanılarak 100 adet rastgele 1x10'luk çözüm kümesi oluşturulmuştur. Rastgele üretilen çözüm kümeleri Şekil 24'te gösterilmektedir.

```

edanur@eda: ~/Downloads/genetic-controller-placement-master
Dosya Düzenle Görünüm Ara Uçbirim Yardım
edanur@eda:~/Downloads/genetic-controller-placement-master$ python main.py
[[7, 9, 1, 2, 6, 3, 5, 4, 8, 0], [2, 6, 5, 0, 7, 4, 9, 1, 3, 8], [9, 1, 0, 3, 6, 4, 7, 5, 2, 8], [2, 8, 7, 5, 1, 9, 0,
3, 4, 6], [1, 6, 3, 9, 8, 7, 0, 4, 2, 5], [4, 9, 1, 2, 7, 5, 3, 8, 0, 6], [9, 6, 4, 5, 7, 0, 2, 1, 8, 3], [1, 6, 0, 5
, 3, 2, 4, 7, 8, 9], [1, 4, 7, 0, 5, 9, 3, 8, 6, 2], [7, 4, 8, 0, 2, 5, 3, 1, 6, 9], [6, 2, 8, 0, 3, 4, 7, 1, 5, 9], [
3, 5, 4, 9, 2, 6, 0, 1, 8, 7], [0, 6, 2, 5, 8, 4, 9, 7, 1, 3], [3, 7, 0, 8, 2, 5, 6, 9, 1, 4], [6, 0, 9, 4, 8, 5, 3, 2
, 7, 1], [3, 7, 1, 9, 5, 0, 8, 6, 4, 2], [7, 1, 3, 8, 4, 0, 9, 2, 6, 5], [2, 3, 7, 5, 9, 6, 1, 4, 8, 0], [0, 1, 3, 6,
5, 7, 4, 9, 2, 8], [9, 8, 2, 1, 0, 3, 4, 6, 5, 7], [7, 8, 5, 0, 1, 2, 3, 6, 9, 4], [3, 9, 8, 1, 7, 6, 0, 5, 2, 4], [8,
3, 5, 2, 4, 7, 6, 9, 0, 1], [0, 2, 9, 4, 7, 1, 5, 6, 3, 8], [3, 9, 1, 0, 6, 2, 5, 8, 4, 7], [0, 1, 3, 7, 4, 2, 5, 8,
6, 9], [9, 2, 4, 3, 1, 8, 7, 5, 0, 6], [5, 2, 1, 7, 4, 9, 3, 0, 8, 6], [1, 4, 9, 8, 6, 3, 7, 2, 5, 0], [8, 6, 9, 2, 1,
4, 7, 5, 3, 0], [1, 4, 9, 5, 2, 6, 0, 7, 8, 3], [6, 8, 9, 1, 2, 5, 4, 3, 0, 7], [7, 6, 3, 9, 8, 1, 5, 0, 4, 2], [5, 8
, 1, 7, 4, 0, 6, 2, 3, 9], [7, 8, 1, 4, 2, 0, 3, 6, 9, 5], [9, 4, 5, 2, 0, 7, 8, 1, 3, 6], [9, 0, 3, 1, 4, 6, 2, 5, 8,
7], [0, 7, 8, 5, 3, 4, 1, 2, 6, 9], [1, 4, 9, 0, 3, 7, 5, 6, 8, 2], [1, 6, 7, 2, 0, 3, 5, 8, 9, 4], [4, 9, 8, 6, 2, 5
, 7, 3, 0, 1], [6, 3, 4, 5, 1, 8, 0, 2, 7, 9], [2, 1, 7, 0, 5, 8, 3, 9, 4, 6], [8, 1, 9, 3, 2, 5, 0, 6, 7, 4], [5, 2,
6, 3, 1, 7, 0, 4, 8, 9], [9, 6, 8, 1, 2, 5, 0, 7, 4, 3], [4, 1, 8, 2, 6, 7, 5, 9, 3, 0], [4, 8, 0, 9, 2, 5, 1, 7, 3, 6
], [7, 2, 5, 9, 3, 4, 0, 6, 8, 1], [0, 8, 3, 6, 4, 9, 1, 2, 5, 7], [5, 2, 6, 7, 0, 3, 4, 1, 9, 8], [6, 8, 0, 9, 1, 2,
7, 4, 3, 5], [4, 1, 5, 6, 8, 3, 7, 0, 9, 2], [4, 3, 7, 8, 6, 0, 5, 9, 2, 1], [9, 4, 2, 6, 1, 7, 5, 0, 3, 8], [7, 1, 8,
4, 0, 9, 3, 6, 2, 5], [0, 7, 8, 6, 3, 1, 2, 9, 5, 4], [9, 0, 7, 8, 4, 1, 3, 6, 2, 5], [7, 3, 5, 1, 4, 0, 2, 8, 6, 9],
[5, 0, 6, 7, 9, 3, 2, 4, 1, 8], [2, 8, 0, 1, 7, 9, 4, 3, 5, 6], [8, 4, 5, 3, 6, 0, 9, 7, 2, 1], [7, 3, 4, 0, 2, 8, 1,
6, 9, 5], [8, 7, 1, 9, 3, 2, 6, 0, 4, 5], [3, 4, 2, 8, 0, 6, 5, 9, 1, 7], [5, 4, 9, 2, 0, 8, 3, 1, 7, 6], [7, 6, 2, 5
, 4, 8, 3, 1, 9, 0], [3, 7, 4, 0, 6, 1, 5, 8, 9, 2], [6, 7, 3, 9, 8, 2, 1, 0, 5, 4], [1, 6, 4, 8, 2, 0, 3, 9, 5, 7], [
1, 7, 8, 9, 3, 6, 2, 5, 0, 4], [4, 5, 7, 1, 3, 9, 0, 8, 2, 6], [0, 7, 6, 2, 8, 1, 4, 3, 9, 5], [9, 8, 7, 0, 4, 3, 2, 6
, 5, 1], [3, 4, 9, 0, 6, 5, 8, 1, 2, 7], [4, 5, 7, 2, 8, 9, 1, 6, 0, 3], [2, 3, 8, 4, 6, 5, 0, 7, 1, 9], [7, 1, 2, 5,
9, 6, 4, 0, 8, 3], [9, 7, 1, 0, 2, 8, 4, 6, 5, 3], [6, 0, 9, 2, 7, 3, 5, 1, 4, 8], [3, 5, 7, 6, 4, 1, 0, 9, 2, 8], [5,
3, 9, 0, 1, 6, 4, 2, 7, 8], [7, 6, 2, 3, 8, 5, 9, 1, 0, 4], [8, 5, 9, 3, 7, 1, 2, 0, 6, 4], [5, 7, 0, 1, 8, 4, 9, 2,
6, 3], [0, 3, 5, 4, 1, 9, 6, 8, 2, 7], [7, 3, 0, 6, 8, 4, 5, 1, 9, 2], [3, 7, 2, 5, 1, 6, 0, 8, 4, 9], [4, 7, 5, 6, 9,
3, 1, 8, 2, 0], [2, 9, 7, 6, 1, 4, 0, 3, 8, 5], [9, 8, 3, 4, 0, 6, 5, 2, 7, 1], [1, 5, 6, 2, 4, 0, 3, 7, 8, 9], [6, 1
, 5, 0, 7, 3, 4, 9, 8, 2], [9, 5, 1, 2, 8, 7, 3, 0, 4, 6], [1, 4, 8, 6, 0, 5, 2, 9, 3, 7], [9, 7, 0, 5, 2, 8, 1, 3, 4,
6], [0, 8, 6, 3, 1, 7, 4, 5, 2, 9], [8, 6, 2, 3, 4, 5, 0, 7, 1, 9], [6, 4, 3, 8, 9, 7, 0, 1, 5, 2], [6, 8, 9, 5, 7, 0
, 1, 2, 3, 4]]

```

Şekil 24. Rastgele Başlangıç Çözümleri

Her bir rastgele çözüm kümesinin uygunluğu, uygunluk fonksiyonu kullanılarak hesaplanır. Uygunluk fonksiyonunun iki amacı vardır:

- Haritadaki tüm Geyhileri kapsayacak Geyhilde minimum mesafelerde çözüm kümeleri seçmek
- Koronavirüs katsayıları daha yüksek olan çözüm setlerini seçmek

Tüm Geyhilerin uygunluk değerlerindeki mesafe için DA'ya göre hesaplanan mesafe matrisi kullanılır. Rastgele çözüm setindeki elemanların içinden diğer tüm Geyhilere minimum uzaklığı olan Geyhi seçilir. Çözüm setindeki minimum değerlere göre tüm Geyhilere optimum mesafe hesaplandıktan sonra, çözüm setinden tüm Geyhilere olan minimum mesafenin ortalaması hesaplanır. Örneğin rastgele çözüm setlerinden biri olan [8 6 2 3 4 5 0 7 1 9] için matristeki tüm Geyhilere minimum mesafede olan Geyhin5 numaralı Geyhi olduğunu varsayalım. 5 numaralı Geyhin diğer tüm Geyhilere olan minimum uzaklıklar ortalaması alınır. Elde edilen değer bu çözüm kümesinin minimum uzaklığı değeri olarak elde tutulur. Bu mesafeler tüm çözüm setleri için hesaplanır.

Deneyde kullanılan algoritmada kullanılan parametreler ve formüller şu şekildedir

n denetleyici sayısı; kurulacak pandemi hastanesi sayısına karşılık gelmektedir ve bu değer 10 olarak belirlenmiştir.

$i = 1, 2, 3, \dots, 10$ olacak şekildedir ve x_i çözüm kümesidir.

x_j , çözüm kümesindeki elemanların koronavirüs katsayılarıdır.

\bar{x} , çözüm setindeki elemanların koronavirüs katsayılarının aritmetik ortalamasıdır.

h şehirlerin ağırlıklı grafiğidir.

$f(x, h)$, DA fonksiyonudur.

A , seçilen çözüm kümesinin diğer tüm şehirlere en kısa mesafelerle hesaplanan değeridir.

L_Opt ve G_Opt , sırasıyla lokal optimum ve global optimum için değerleridir. Denklem (1) çözüm setinde yer alan elemanların koronavirüs katsayılarının aritmetik ortalamasını gösterir ve (2) çözüm kümesindeki elemanlardan diğer şehirlere minimum mesafede olan şehrin tüm şehirlere olan uzaklarının ortalamasını göstermektedir. (1) ve (2). Fonksiyonları 100 çözüm kümesi için hesaplama yapar. (1) ve (2) hesaplandıktan sonra, (2) nolu formülden elde edilen değer (1) nolu değerden elde edilen değere bölünerek seçilen çözüm setinin yerel optimum değeri elde edilir (3). (3) nolu formüle göre lokal optimum değerinin uygun olabilmesi için A değerinin yani diğer şehirlere olan mesafenin düşük fakat \bar{x} değerinin yani şehirlerin koronavirüs katsayı ortalamasının yüksek olması gerekmektedir.

$$\bar{x} = \frac{\sum_{j=1}^n x_j}{n} \quad (1)$$

$$A = ortalama(\min(f(x_i, h), i = 1, \dots, n)) \quad (2)$$

$$L_Opt = \frac{A}{\bar{x}} \quad (3)$$

Bağlamda, global bir optimum değer varsayılan olarak yüksek bir değer olarak (4) ile tanımlanır.

$$G_{Opt} = Maxint \quad (4)$$

Her yinelemede, global optimum değer, (3) 'teki değer ile karşılaştırılır. (3) 'teki değer, global optimum değerden daha iyiye, yeni global optimum değer bu yeni değer (5) olacaktır.

"L_Opt" değeri "G_Opt" dan düşükse, o zaman:

$$G_{Opt} = L_{Opt} \quad (5)$$

Deneyin amacı, ortalama mesafenin minimum ve koronavirüs aritmetik ortalaması maksimum olduğunda optimum değere ulaşmaktır. Böylelikle pandemi hastanelerin kurulmasında iki kriter dikkate alınmaktadır:

- Haritadaki Çehlere yakın olan ve maksimum Çehir sayısını kapsayacak çözüm kümeleri,
- Koronavirüs sayısı yüksek Çehirlerden oluşmuş ve hastanelere daha çok ihtiyaç duyan çözüm kümeleridir.

Her deney 1000 iterasyon için çalıştırılır. Maksimum iterasyona ulaşıldıktan sonra optimum çözüm seti ve optimum değer baz alınır. Çalışmada 30 kez yürütülmüştür 30 çalışmadan elde edilen en iyi uygunluk değerleri Tablo 3'te gösterilmiştir. İlk kolon çözümün kaçınıcı çalıştırmadan elde edildiğini, ikinci kolon çalıştırmadan elde edilen çözüm setini yani pandemi hastanesi kurulacak Çehirleri temsil eden numaraları, üçüncü kolon ise o çözüm kümesinin uygunluk değerini göstermektedir. Tablo uygunluk değeri en yüksek olandan en düşük olan çalıştırmalara göre sıralanmıştır.

Tablo 4. Deney Sonuçları

Çalıştırma No	Pandemi Hastanesi Kurulacak Şehir Numaraları	Uygunluk Değeri
9	[74, 57, 8, 28, 0, 39, 15, 74, 18, 45]	0.0002672554771464751
12	[79, 24, 37, 76, 40, 1, 74, 75, 58, 39]	0.0003217251423851137
1	[76, 74, 57, 58, 74, 38, 28, 39, 75, 40]	0.0003219547001035476
14	[60, 42, 39, 49, 12, 40, 74, 24, 76, 33]	0.00032287621623980107

21	[65, 10, 24, 76, 74, 75, 13, 44, 63, 58]	0.0003229917768039527
11	[28, 57, 24, 43, 75, 45, 38, 19, 76, 74]	0.00032310742011823983
5	[51, 74, 52, 62, 53, 57, 58, 38, 7, 76]	0.0003235352480868282
8	[74, 24, 63, 57, 40, 3, 42, 76, 79, 59]	0.0003235708226569537
28	[74, 40, 58, 24, 76, 7, 57, 54, 75, 34]	0.0003238789470047675
17	[24, 58, 18, 75, 76, 37, 40, 7, 74, 39]	0.00032415194841603587
18	[18, 75, 7, 57, 58, 37, 44, 74, 24, 74]	0.00032422337693777505
20	[76, 74, 60, 74, 14, 2, 22, 40, 57, 78]	0.00032422337693777505
10	[44, 18, 76, 34, 58, 5, 74, 74, 30, 34]	0.0003243383497664764
22	[76, 24, 74, 74, 27, 37, 38, 58, 75, 57]	0.0003245685402205335
13	[75, 60, 74, 39, 30, 40, 57, 27, 24, 74]	0.0003247990576496674
29	[18, 40, 67, 63, 24, 81, 64, 25, 74, 76]	0.00032491443919767794
19	[64, 38, 24, 75, 76, 74, 62, 16, 39, 50]	0.0003249690401117191
15	[74, 24, 40, 49, 16, 59, 11, 2, 76, 7]	0.0003250861038869755
7	[75, 76, 39, 74, 24, 57, 46, 49, 7, 63]	0.00032526107622384904
30	[57, 24, 75, 58, 40, 74, 76, 7, 27, 74]	0.0003258893348427155
23	[74, 39, 49, 57, 68, 38, 7, 75, 76, 58]	0.00032590791780073814
2	[76, 58, 35, 74, 37, 57, 75, 60, 17, 27]	0.00032623346296820944
24	[7, 1, 27, 74, 76, 75, 39, 24, 58, 40]	0.0003263054392941361
16	[74, 39, 40, 60, 57, 38, 74, 75, 34, 27]	0.00032708917158037114
6	[24, 81, 0, 57, 37, 41, 74, 74, 39, 75]	0.0003281787392685552
3	[58, 75, 67, 76, 55, 31, 74, 7, 39, 60]	0.00032819733296483107
26	[76, 52, 60, 76, 24, 27, 23, 74, 58, 7]	0.00032819733296483107
4	[58, 9, 76, 57, 49, 39, 61, 79, 74, 63]	0.0003696841205081152
27	[27, 37, 39, 57, 39, 80, 74, 76, 51, 7]	0.00037254145084697076
25	[39, 58, 17, 75, 76, 75, 57, 7, 40, 24]	0.0005330035817840696

Yapılan deney sonuçlarına göre en yüksek uygunluğa sahip 9. çalıřtırmaaya ait 1000 iterasyon adımından rastgele seçilerek bazıları ğekil 25'te gösterilmektedir.

```

edanur@eda: ~/Downloads/genetic-controller-placement-master
Dosya Düzenle Görünüm Ara Üçbirim Yardım
edanur@eda:~/Downloads/genetic-controller-placement-master$ python main.py
Generation (0) ==> 0.830041716413667617
Generation (1) ==> 0.029632085394280465
Generation (2) ==> 0.029652566945249825
Generation (3) ==> 0.029673048496219184
Generation (4) ==> 0.02963208539428047
Generation (5) ==> 0.029693530047188527
Generation (6) ==> 0.029468232986525608
Generation (7) ==> 0.029714011598157886
Generation (8) ==> 0.029529677639433677
Generation (9) ==> 0.029693530047188534
Generation (10) ==> 0.029550159190403037
Generation (11) ==> 0.03015063279827372
Generation (12) ==> 0.03319806637521654
Generation (13) ==> 0.028664534652339556
Generation (14) ==> 0.028640059127864034
Generation (15) ==> 0.028640059127864034
Generation (16) ==> 0.028640059127864034
Generation (17) ==> 0.028640059127864034

edanur@eda: ~/Downloads/genetic-controller-placement-master
Dosya Düzenle Görünüm Ara Üçbirim Yardım
Generation (229) ==> 0.0006479794113247926
Generation (230) ==> 0.0010276712999810933
Generation (231) ==> 0.0009399950546097358
Generation (232) ==> 0.0006477409036385453
Generation (233) ==> 0.0006497272509960381
Generation (234) ==> 0.0006771421631761956
Generation (235) ==> 0.0006484277064522111
Generation (236) ==> 0.0007128488216901615
Generation (237) ==> 0.0006488838533765754
Generation (238) ==> 0.0006477409036385453
Generation (239) ==> 0.0006482078997506479
Generation (240) ==> 0.0006486131201969482
Generation (241) ==> 0.0006477409036385453
Generation (242) ==> 0.000648290345889478
Generation (243) ==> 0.0006486397035582039
Generation (244) ==> 0.0008230933942212597
Generation (245) ==> 0.0006526833969078133
Generation (246) ==> 0.0006925300597992853
Generation (247) ==> 0.0006477409036385453

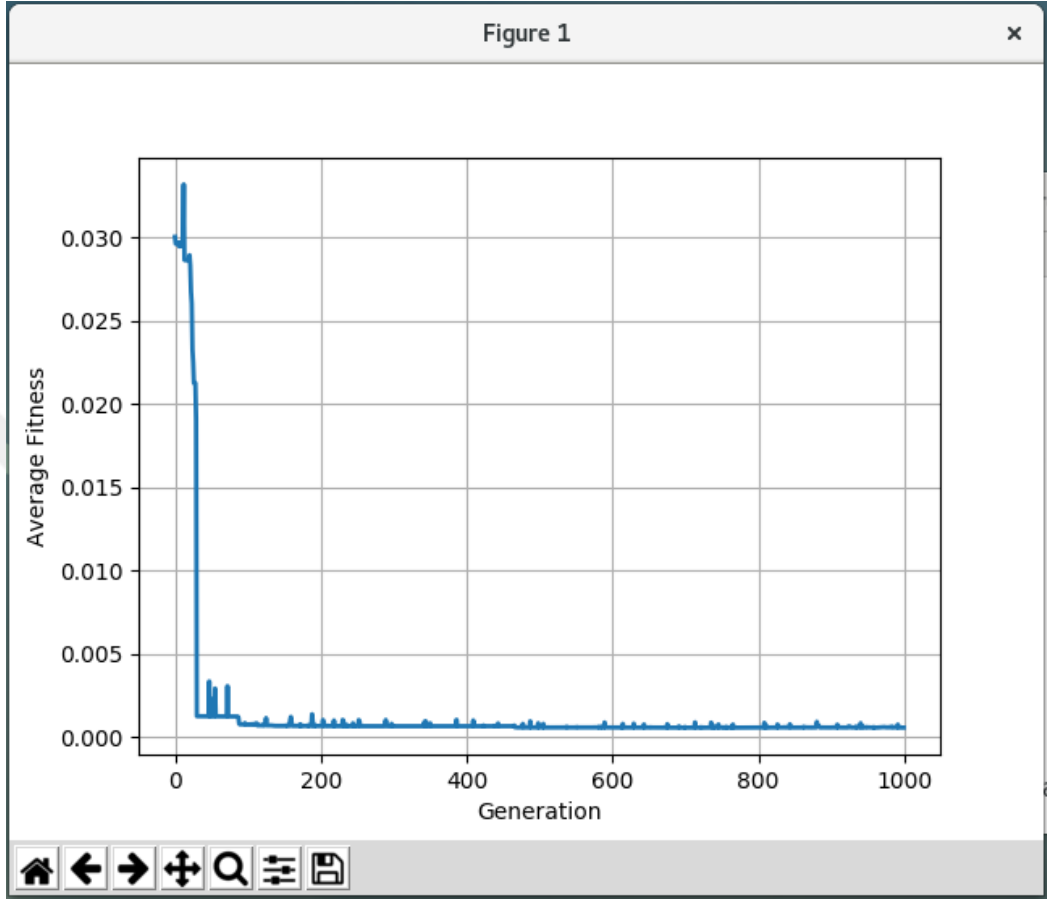
edanur@eda: ~/Downloads/genetic-controller-placement-master
Dosya Düzenle Görünüm Ara Üçbirim Yardım
Generation (581) ==> 0.0006136116384453668
Generation (582) ==> 0.0005722812658367247
Generation (583) ==> 0.0005724766371685954
Generation (584) ==> 0.0005723463896140149
Generation (585) ==> 0.0006127938238739237
Generation (586) ==> 0.0005735059287780401
Generation (587) ==> 0.0005726068047231759
Generation (588) ==> 0.0005727371322777563
Generation (589) ==> 0.0008737441805256612
Generation (590) ==> 0.0005732095707655633
Generation (591) ==> 0.0005724389239221414
Generation (592) ==> 0.0005706373105297114
Generation (593) ==> 0.0005708011208289845
Generation (594) ==> 0.0005698249178553759
Generation (595) ==> 0.0005697577327349622
Generation (596) ==> 0.0005699195119066259
Generation (597) ==> 0.0005704192732234821
Generation (598) ==> 0.0005687784907433819
Generation (599) ==> 0.0005687784907433819

edanur@eda: ~/Downloads/genetic-controller-placement-master
Dosya Düzenle Görünüm Ara Üçbirim Yardım
Generation (983) ==> 0.0006277553846759138
Generation (984) ==> 0.0005802753697795496
Generation (985) ==> 0.0005681301478114071
Generation (986) ==> 0.0005748774933492642
Generation (987) ==> 0.0005752391257250962
Generation (988) ==> 0.0005748920586819147
Generation (989) ==> 0.0005735280242416927
Generation (990) ==> 0.0005685746259037186
Generation (991) ==> 0.0007428173109277591
Generation (992) ==> 0.0005686481598411675
Generation (993) ==> 0.000571789699955036
Generation (994) ==> 0.0005746112276006968
Generation (995) ==> 0.0005622372265924983
Generation (996) ==> 0.0005621455138039278
Generation (997) ==> 0.0005621913701982131
Generation (998) ==> 0.0005622830829867836
Generation (999) ==> 0.000562374795775354
[74, 57, 8, 20, 0, 39, 15, 74, 18, 45] with a value of 0.0002672554771464751
edanur@eda:~/Downloads/genetic-controller-placement-master$

```

Şekil 25. Optimum Sonucu Veren 9. Çalıřtırmanın Bazı Adımları

9. alıřtımaya ait yerel optimum deęerlerinden elde edilen yakınsama grafięi Őekil 26'da gsterilmektedir.



Őekil 26. Optimum Sonucu veren 9. alıřtırmanın Yakınsama Grafięi

Global optimum deęeri veren zm setindeki her sayı bir Őehre karřılık gelir ve pandemi hastanesi yapımı iin en uygun Őehirleri temsil eder. Optimum zm setini veren 9. alıřtımadan elde edilen Őehirler: [74, 57, 8, 28, 0, 39, 15, 74, 18, 45] numaralı Őehirlerdir. Elde edilen bu Őehirlerin isimleri Őu Őildedir:

74: Őstanbul;

57: Kocaeli;

8: anakkale;

28: Bilecik;

0: Denizli;

39: Ordu;

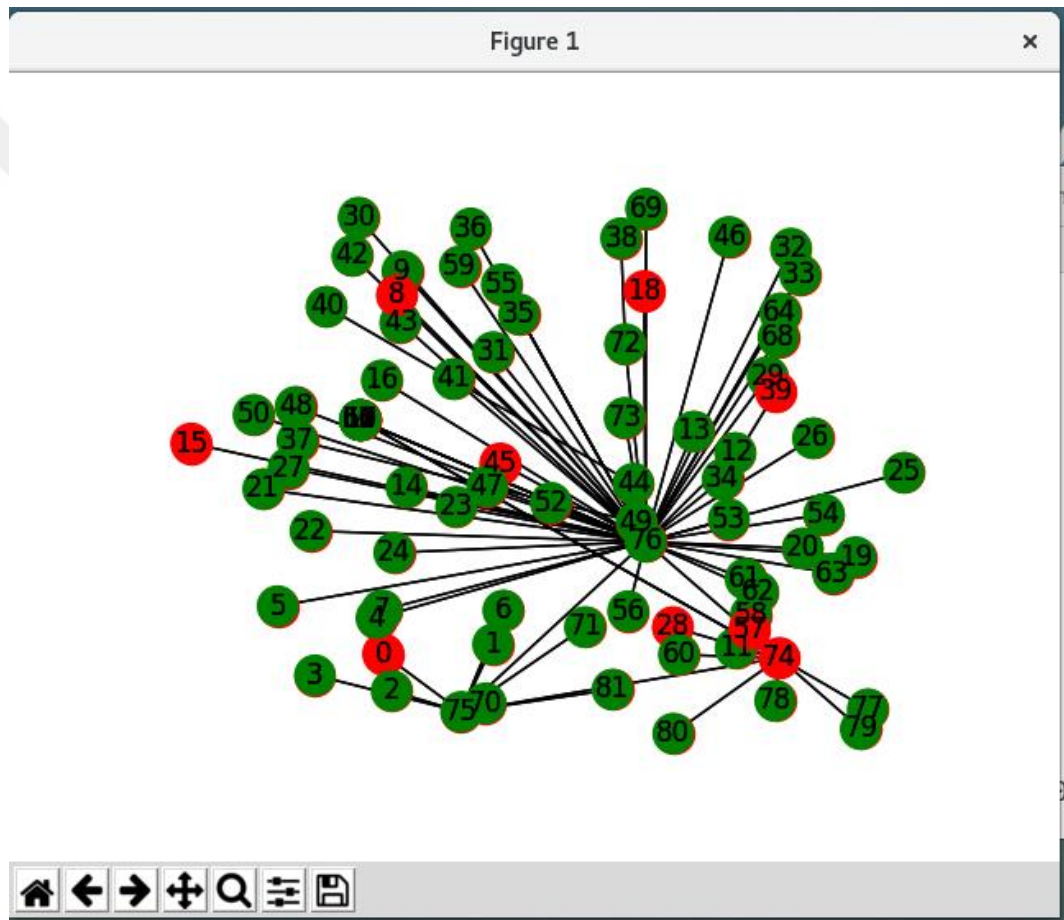
15: Hatay;

74: İstanbul;

18: Erzurum;

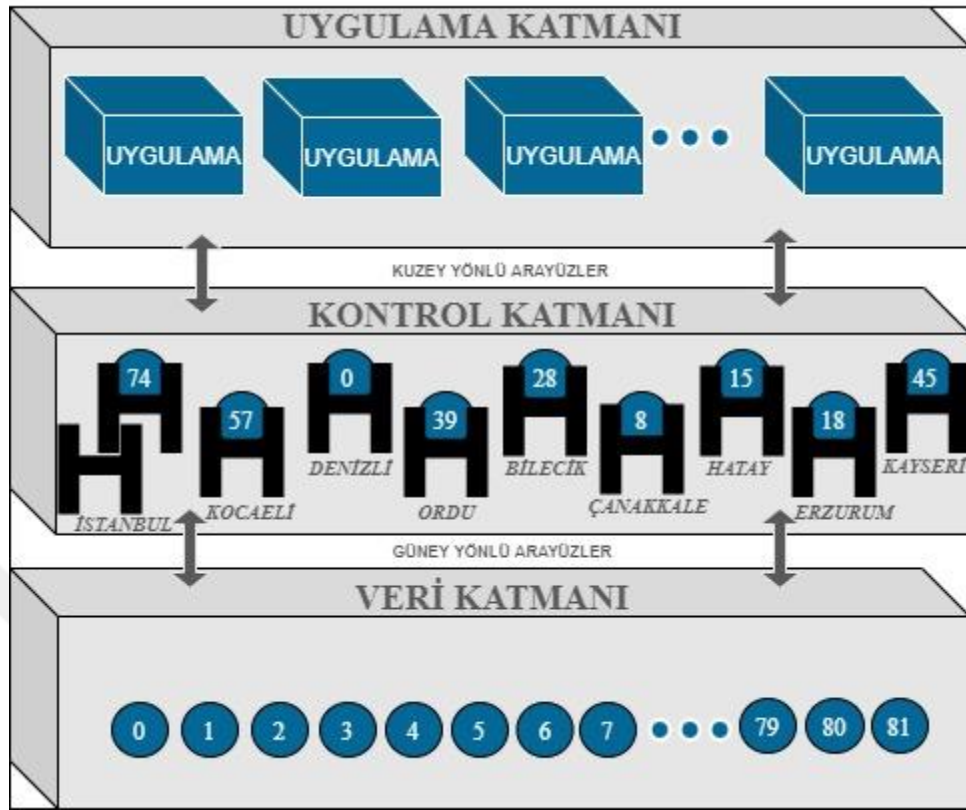
45: Kayseri

Elde edilen Çehirler çekil 27’de ULAKNET veri setinden elde edilen Türkiye ağ haritası üzerinde kırmızı renk ile belirtilmiştir.



Şekil 27. En İyi Hastane Lokalizasyonları

Deney sonucunda elde edilen değerlerin YTA yapısı mimarisinde tam olarak anlaşılabilmesi için çekil 28’deki modelleme oluşturulmuştur. Burada Türkiye’de pandemi hastanesi yerleşimi için Tablo 4’teki verilere göre bulunan 9. Deneyden elde edilen uygun Çehirler YTA mimarisinde kontrol katmanına yerleştirilmiştir. Türkiye’deki diğer tüm Çehirler ise veri katmanına yerleştirilmiştir. Veri katmanındaki Çehirler kontrol katmanında bulunan pandemi hastanelerinden faydalanacaktır.



Şekil 28. YTA Mimarisinde Pandemi Hastaneler İçin Elde Edilen ğehirler

Deney sonucunda elde edilen çözüm kümesi iki adet İstanbul Ğehrini içermektedir. Bu, İstanbul'un iki pandemi hastanesine ihtiyaç duyduğu anlamına gelir. En optimum değeri veren 9. deneyde başköt Ankara elde edilen Ğehirlerden değildir. Fakat 30 deneyin 24'ü Ankara'da pandemi hastanesinin kurulması gerektiğini göstermektedir. Deneyde pandemi hastanesi kurulması için seçilen Ğehirler ekonomik, sosyal ve kültürel seviyelerine göre elde edilmemektedir. Deneylerden elde edilen değerler, tek bir Ğehir olarak değil çözüm setindeki tüm Ğehirler üzerine uygulanan algorithmadan elde edilen sonuçlarla birlikte değerlendirilmelidir.

4. BÖLÜM

SONUÇ, TARTIŞMA ve GELECEK ÇALIŞMA

4.1. Sonuç

Bu tez çalışmasında Yazılım Tanımlı Ağlarda (YTA) Çoklu Denetleyici Yerleştime Problemine (ÇDYD) çözüm önerilmiştir. Topology Zoo veri tabanı bünyesinde bulunan Colt ve ULAKNET veri setlerine ait Avrupa Ağ Haritası ve Türkiye Ağ Haritası kullanılmıştır. Kullanılan ağ haritaları birer YTA mimarisi olarak modellenmiştir. YTA olarak modellenen bu ağ haritalarında belirlenen sayıda denetleyicilerden maksimum kapsam sağlanabilmesi ve en uygun yerleşimini bulabilmek için Dijkstra Algoritması (DA) ve Genetik Algoritma (GA) birlikte kullanılarak çözüm önerilmiştir. DA'nın uygulandığı sorunlara çözüm ararken her adımda en uygun çözümü bulmayı hedeflemesi özelliğinden faydalanılarak ağ haritalarında her bir Çeher en kısa mesafede bulunan Çeheri seçmesi sağlanmıştır. GA için belirlenen parametre değerlerine göre rastgele çözüm kümeleri oluşturulmuş olup her bir jenerasyonda GA'nın temel adımları olan mutasyon, çaprazlama ve seçme adımlarına göre uygunluk değerleri hesaplanmıştır. Her bir jenerasyonda elde edilen yerel optimum değerlerden en optimum olan değer global optimum değer olarak seçilerek elde etmek istediğimiz çözüm olarak seçilmiştir. Böylece global optimum çözümde bulunan elemanlar ağ haritasındaki denetleyicileri yerleştireceğimiz Çehirler iken bulunan çözüm değeri o çözüm kümesinin uygunluğudur.

Ağ haritalarının YTA mimarisi ile modellenmesinin ardından Türkiye'de kurulması gereken pandemi hastanelerinin yerleştirilmesi problemi YTA mimarisi ile modellenmiştir. Pandemi hastanelerinin kurulum maliyetinin yüksek olması nedeniyle istenilen her lokasyonda kurulması mümkün olmadığından nasıl yerleştirileceği büyük önem taşımaktadır. Pandemi hastanesi yerleştime problemini çözmek için ULAKNET veri setinden elde edilen Türkiye ağ haritası koordinat verilerine her bir Çehirin

koronavirüs katsayısı, parametre olarak eklenmiştir. Elde edilen veri dosyasına yine DA ile GA birlikte uygulanmıştır. Deneysel sonuçlardan bulunan hastane konumları, koronavirüsün yüksek olduğu yerlerdeki tüm şehirleri kapsayacak en yakın mesafede olma özelliğine sahiptir. Böylece kurulan pandemi hastaneleri hep daha çok koronavirüslü hastaya hitap edecek hem de ulaşımı kolay olacaktır.

4.2. Tartışma

Günümüzdeki teknolojik gelişmeler ve ağ ile yönetilebilen cihazların artması ile ağ yönetimi daha karmaşık hale gelmiştir. Geleneksel ağ mimarisinin yeni cihazların ağına katılması, ağdan çıkarılması ve cihazların birbirleriyle haberleşmesi hususunda yaşadığı zorluklar YTA mimarisine yönelmiştir. YTA mimarisinde optimal ağ planlarken kontrol katmanında bulunan denetleyicilerin yerleşimi oldukça önemlidir. Bu denetleyicilerin en uygun yerleşim yeri için GA ve DA'nın birlikte kullanılmasıdır. GA'nın yeni bir birey oluşturmak için mevcut nüfustan daha yüksek formda olan ebeveynleri seçen bir popülasyonun doğaya dayalı evrimi olması YTA'larda ÇDYP için kullanılması oldukça mantıklıdır. Çünkü GA'nın bu özelliği sayesinde gerçekleştirilen deneylerin her bir iterasyonunda daha yüksek formda çözüm kümeleri elde edilmiştir. Kullanılan DA'nın her bir aşamada en yakın mesafeyi bulması özelliği sayesinde denetleyiciler, diğer denetleyicilere ve ağ elemanlarına maksimum kapsam ile fayda sağlayacak şekilde yerleştirilmiştir. GA ile DA'nın birlikte kullanılması ise denetleyicilerin en uygun yerleşim için daha da uygunluk sağlamaktadır.

Yapılan çalışmada Türkiye'de pandemi hastanelerinin nasıl yerleştirilmesi gerektiği YTA mimarisi ile modellenmiştir. Bu modelleme ile pandemi hastanesinin kurulum yerlerinin seçimi dinamik olarak yönetilebilmektedir. Ülkelerin ve şehirlerin koronavirüs sayılarına net bir şekilde ulaşılması durumunda DA ve GA'nın ÇDYP'nin çözümünde başarıyı daha net bir şekilde elde edilecektir.

4.3. Gelecek Çalışma

Gelecek çalışma olarak ülkelerin koronavirüs verilerine net bir şekilde ulaşmasının mümkün olması durumunda tüm ülkeler için pandemi hastanelerinin en uygun yerleşim yerleri bulunacaktır. Bunun için belli zaman aralığındaki koronavirüs bulaşımına hasta

sayısının yanı sıra o erin nfus miktarı, sosyal ve ekonomik atları gz nnde bulundurularak bir algoritma gelitirmek planlanmaktadır.

Ayrıca YTA'larda DYP'ye Yapay Arı Koloni Algoritması uygulanacak olup tez alımasında elde edilen sonularla karılatırılmaktadır.



KAYNAKÇA

1. Zhang, Y., Cui, L., Wang, W., Zhang, Y., 2018. A survey on software defined networking with multiple controllers. **Journal of Network and Computer Applications**, **103**, 101-118.
2. Lu, J., Zhang, Z., Hu, T., Yi, P., Lan, J., 2019. A survey of controller placement problem in software-defined networking. **IEEE Access**, **7**, 24290–24307.
3. Guo, Z., Liub, R., Xuc, Y., Gushchind, A., Walide, A., 2017. STAR: Preventing flow-table overflow in software-defined networks. **Computer Network**, **125**, 15–25.
4. Coronavirus Disease (COVID-19) Pandemic. (Web Sayfası: www.who.int/covid-19), (Erişim Tarihi: Haziran 2020).
5. Pandemi Hastaneleri. (Web Sayfası: <https://hast.saglik.gov.tr/Eklenti/36907/0/pandemi-hastaneleripdf.pdf>), (Erişim Tarihi: Temmuz 2020).
6. Liao, L., Leung, V.C.M., 2017. Genetic algorithms with particle swarm optimization based mutation for distributed controller placement in SDNs. **IEEE Conference on Network Function Virtualization and Software Defined Networks (NFV-SDN)**, 1-6.
7. Mouawad, N., Naja, R., Tohme, S., 2018. Optimal and dynamic SDN controller placement. **2018 International Conference on Computer and Applications (ICCA)**, 1-9.
8. Huang, V., Chen, G., Fu, Q., Wen, E., 2019. Optimizing controller placement for software-defined networks. **International Conference on Cloud Computing and Big Data**, 224-232.
9. Adebayo, I.O., Adigun, M.O., Mudali, P., 2018. Feature selection strategies for the controller placement problem in SDNs: A review. **2018 International Conference on Advances in Big Data, Computing and Data Communication Systems (icABCD)**, 1-5.
10. Kuang, H., Qiu, Y., Li, R., Liu, X., 2018. A hierarchical K-Means algorithm for controller placement in SDN-based WAN architecture. **2018 10th International**

Conference on Measuring Technology and Mechatronics Automation (ICMTMA), 263–267.

11. Wang, G., Zhao, Y., Huang, J., Wang, W., 2017. The controller placement problem in software defined networking: a survey. **IEEE Network**, **31(5)**, 21-27.
12. Singh, A.K., Srivastava, S., 2018. A survey and classification of controller placement problem in SDN. **International Journal of Network Management**, **28(3)**, 1-25.
13. Babayigit, B., Karakaya, S., 2018. Cost-effective logging using SDN architecture. **International Conference on Advanced Technologies**, 1.
14. Babayigit, B., Karakaya, S., Ulu, B., 2018. An implementation of software defined network with Raspberry Pi. **2018 IEEE 26th Signal Processing and Communications Applications Conference**, 1-4.
15. Babayigit, B., Ulu, B., 2018. Load balancing on software defined networks. **2nd International Symposium on Multidisciplinary Studies and Innovative Technologies**, 1-4.
16. Yao, G., Bi, J., Li, Y., Guo, L., 2014. On the capacitated controller placement problem in software defined networks. **IEEE Communications Letters**, **18(8)**.1339-1342.
17. Sallahi, A., St-Hilaire, M., 2015. Optimal model for the controller placement problem in software defined networks. **IEEE Communications Letters**, **19(1)**, 30-33.
18. Sallahi, A., St-Hilaire, M., 2017. Expansion model for the controller placement problem in software defined networks. **IEEE Communications Letters**, **21(2)**, 274-277.
19. Genetik Algoritmalar (Genetic Algorithms). (Web sayfası: <https://bilgisayarkavramlari.com/2009/02/16/genetik-algoritmalar-genetic-algorithms/?highlight=genetik>) (Erişim Tarihi: Haziran 2019)
20. Dijkstra, E. W., 1959, **A note on two problems in connexion with graphs. Numerische Mathematik**, **1(1)**, 269–271.

21. Dijkstra Algoritması. (Web Sayfası: [bilgisayarkavramlari.com/2010/05/13/dijkstra-algoritmasi-2/#:~:text=Bilgisayar%20bilimlerinde%20kullan%C4%B1lan%20ve%20algoritmay%C4%B1,shortest%20path\)%20bulmak%20i%C3%A7in%20kullan%C4%B1l%C4%B1r.&text=Dijkstra%20algoritmas%C4%B1%20herhangi%20bir%20%C5%9Fekildeki,giden%20en%20k%C4%B1sa%20yolu%20hesaplar.](http://bilgisayarkavramlari.com/2010/05/13/dijkstra-algoritmasi-2/#:~:text=Bilgisayar%20bilimlerinde%20kullan%C4%B1lan%20ve%20algoritmay%C4%B1,shortest%20path)%20bulmak%20i%C3%A7in%20kullan%C4%B1l%C4%B1r.&text=Dijkstra%20algoritmas%C4%B1%20herhangi%20bir%20%C5%9Fekildeki,giden%20en%20k%C4%B1sa%20yolu%20hesaplar.)), (Erişim Tarihi: Haziran 2019)
22. The Internet Topology Zoo. (Web Sayfası: www.topology-zoo.org), (Erişim Tarihi: Mayıs 2019)
23. Hangi ilde ne kadar koronavirüs vakası var? Vefat Sayıları. (Web Sayfası: <https://ajansspor.com/haber/hangi-ilde-ne-kadar-corona-virus-vakasi-var-vefat-sayilari-362702>, Access Date: June 2020.) (Erişim Tarihi: Ağustos 2020)

ÖZGEÇMİŞ

KİŞİSEL BİLGİLER

Adı Soyadı :Eda Nur HASÇOKADAR
 Uyuğu :TC
 Doğum Tarihi ve Yeri :
 Tel :
 E-Posta :

EĞİTİM

Derece	Kurum	Mezuniyet Tarihi
Yüksek Lisans	Erciyes Üniversitesi, Bilgisayar Mühendisliği	2021
Lisans	Fırat Üniversitesi, Bilgisayar Mühendisliği	2016
Lise	Nuh Mehmet Baldöktü Anadolu Lisesi	2012

İŞ DENEYİMLERİ

Yıl	Kurum	Görev
2017-Halen	Kayseri İğker Fabrikası	Bilgisayar Müh.

YABANCI DİL

İngilizce

TEZDEN YAPILAN YAYINLAR

1. B. Babayigit, **E.N. Hasçokadar**, A Software-Defined Network Approach for The Best Hospital Localization Against Coronavirus (COVID-19), Advances in Science, Technology and Engineering Systems Journal, 5(6), 1537–1544, 2020, doi: 10.25046/aj0506184
2. B. Babayigit, B. Ulu, **E.N. Hasçokadar**, “Solving multi-controller placement problem in software defined networks with a genetic algorithm,” in 2019 4th International Conference on Computer Science and Engineering (UBMK), Samsun, Turkey, 666–670, 2019, doi: 10.1109/UBMK.2019.8907199.